



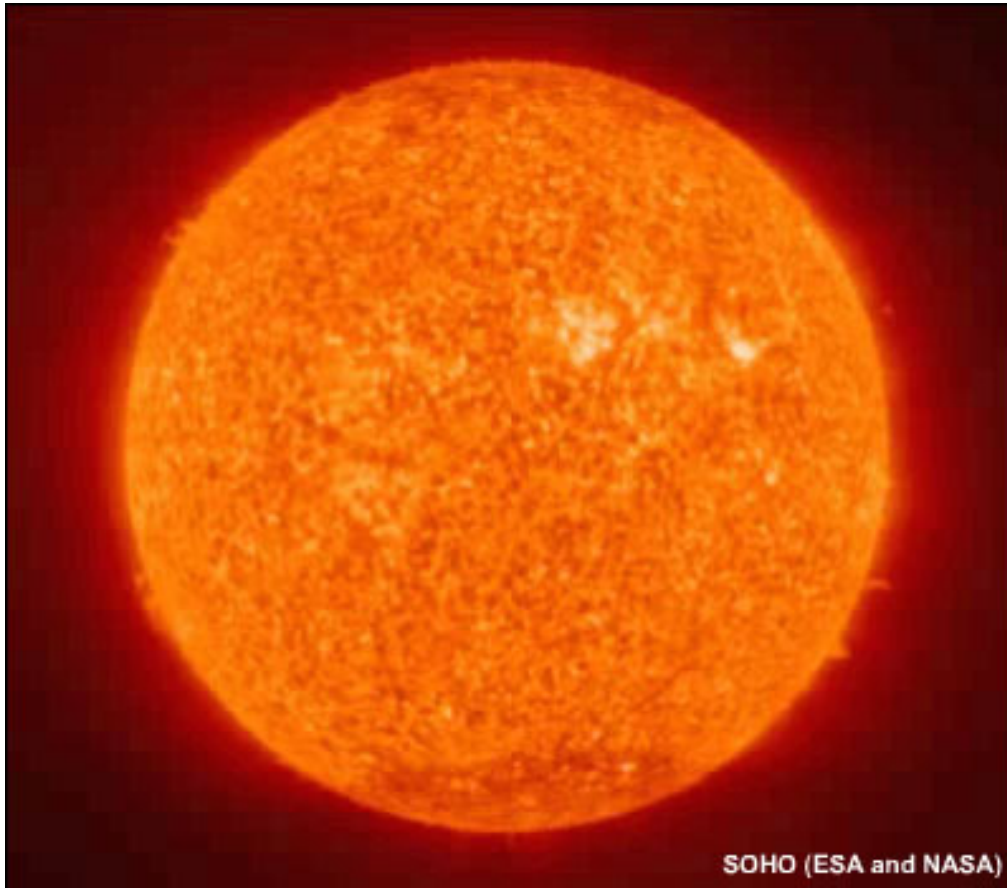
# Introdução a Física Atmosférica

## PGF-3521

*Henrique Barbosa*  
*Departamento de Física Aplicada*  
*Instituto de Física da USP*  
IF-USP, Ed. Milênio, Sala 4  
R. 91 8985

[hbarbosa@if.usp.br](mailto:hbarbosa@if.usp.br)

# O Sol é a nossa fonte de energia



Sem o Sol, a temperatura na Terra seria  $-270^{\circ}\text{C}$

# The Greenhouse Effect

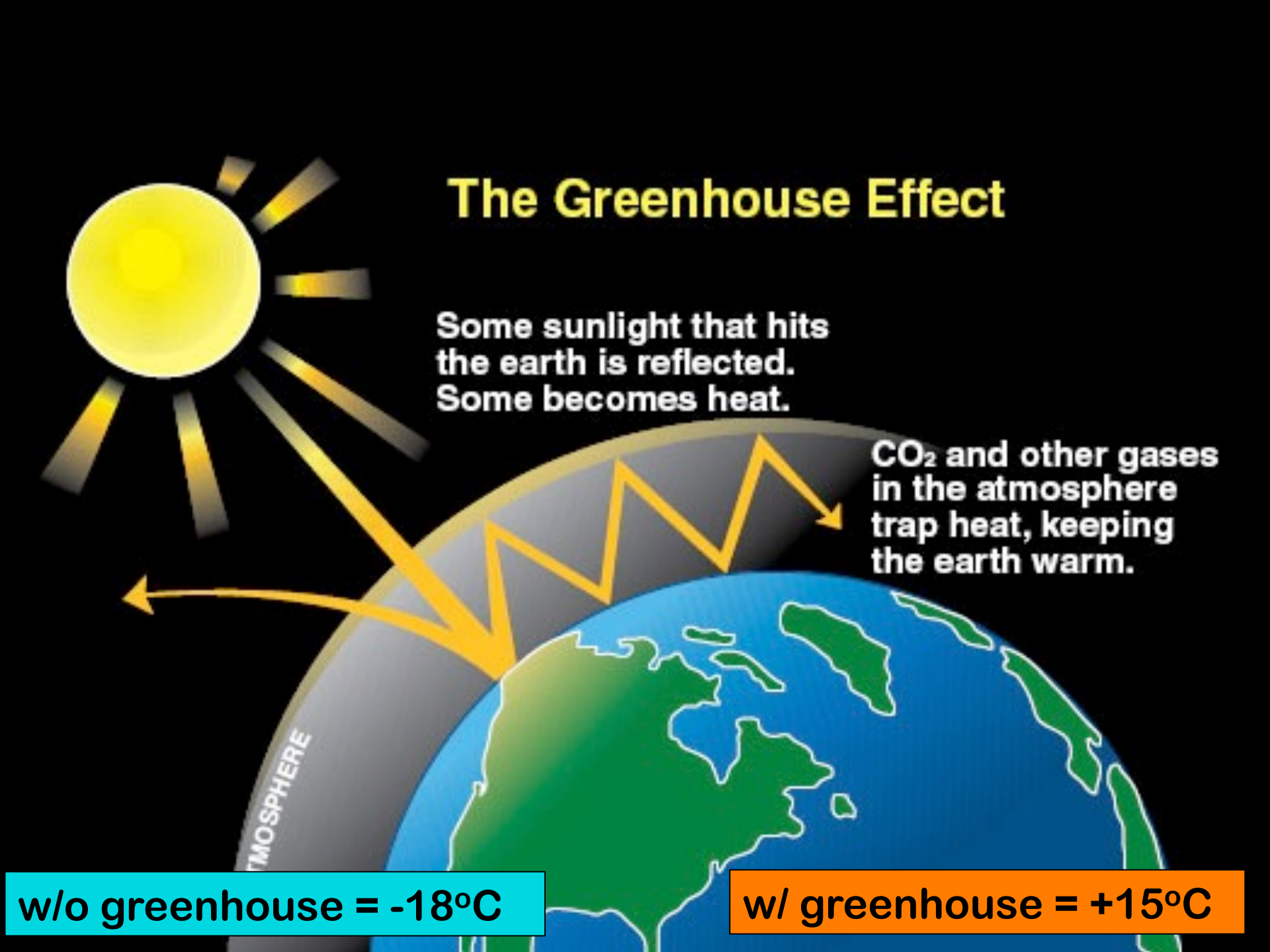
Some sunlight that hits the earth is reflected. Some becomes heat.

CO<sub>2</sub> and other gases in the atmosphere trap heat, keeping the earth warm.

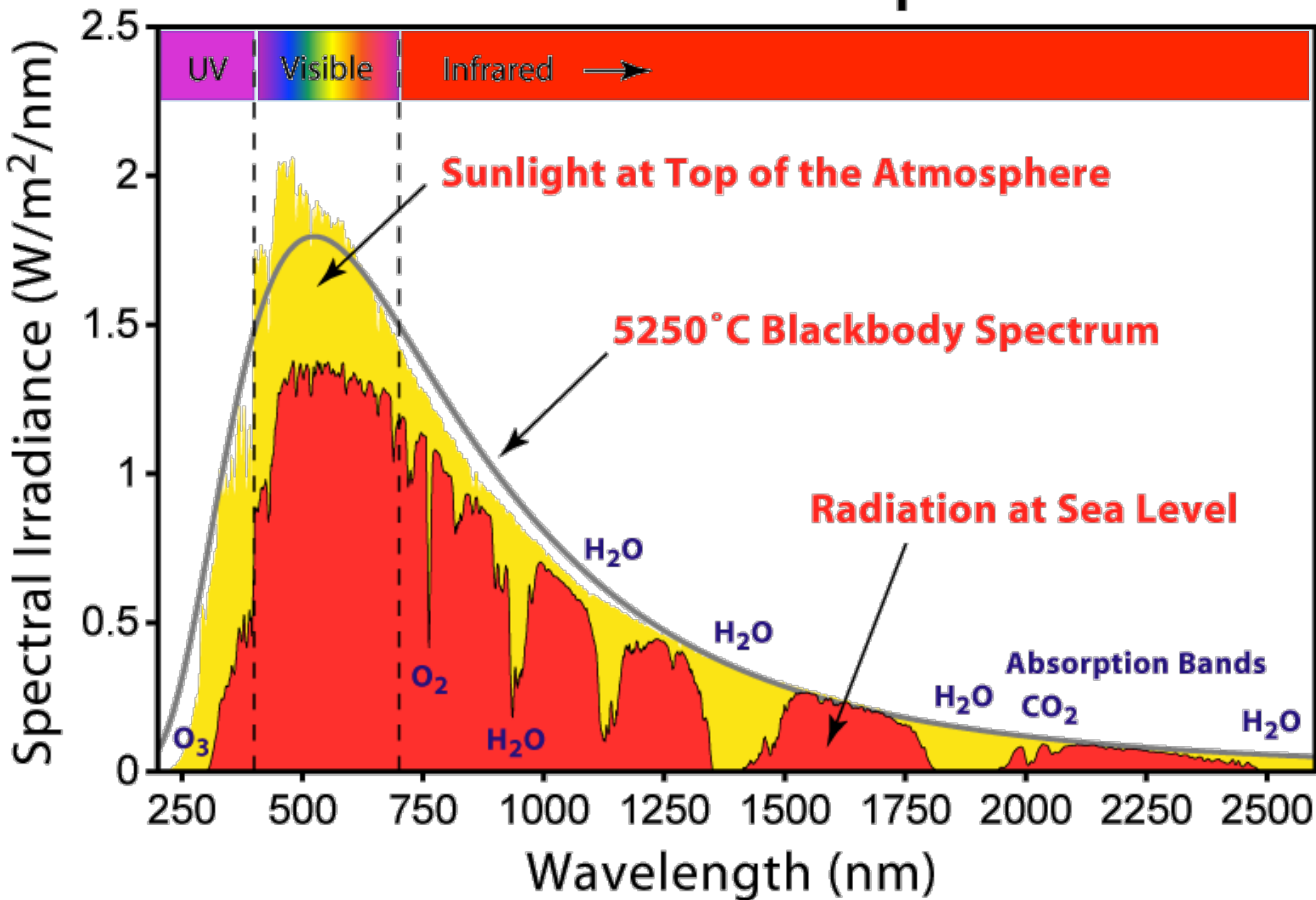
ATMOSPHERE

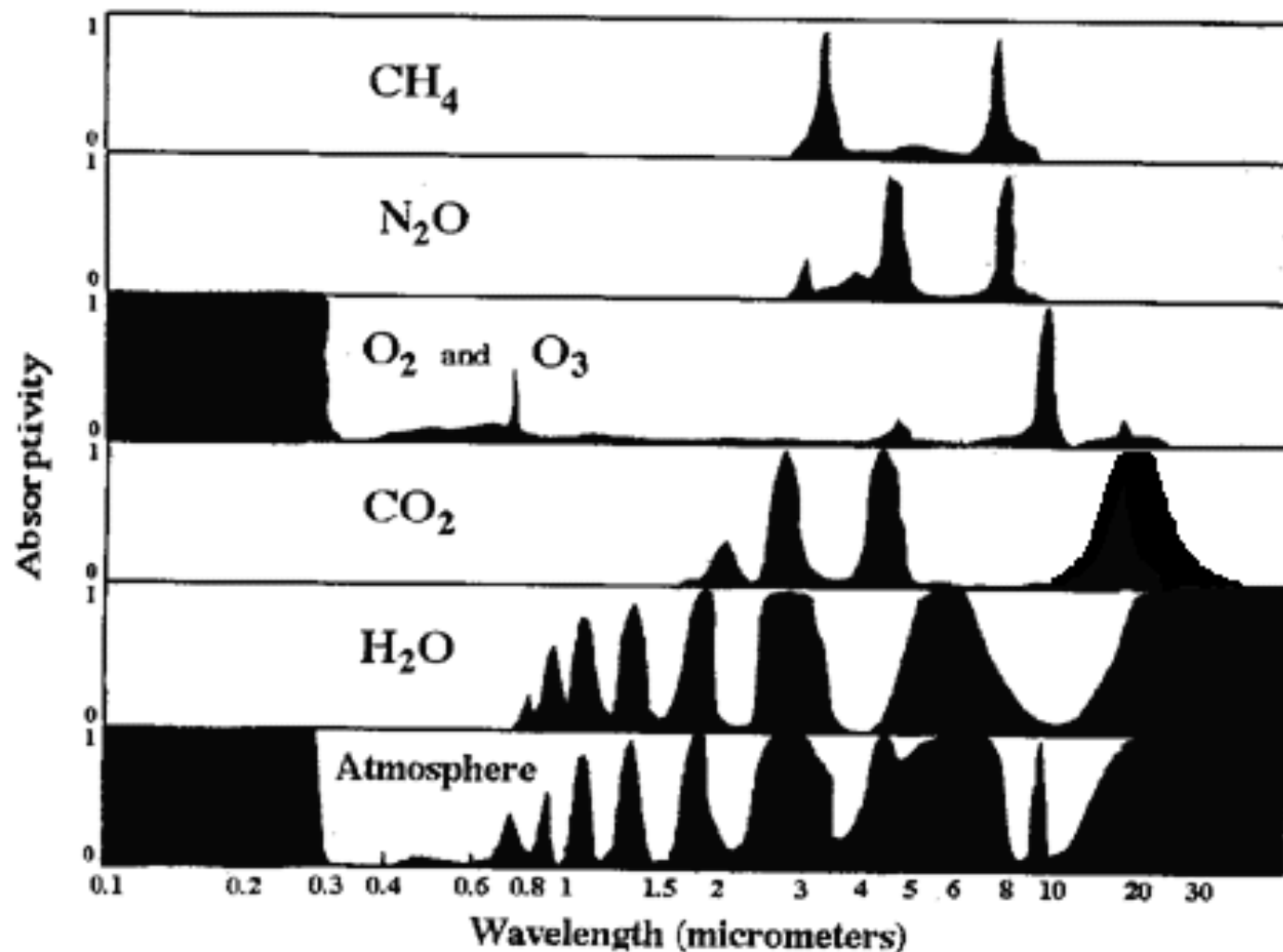
w/o greenhouse = -18°C

w/ greenhouse = +15°C



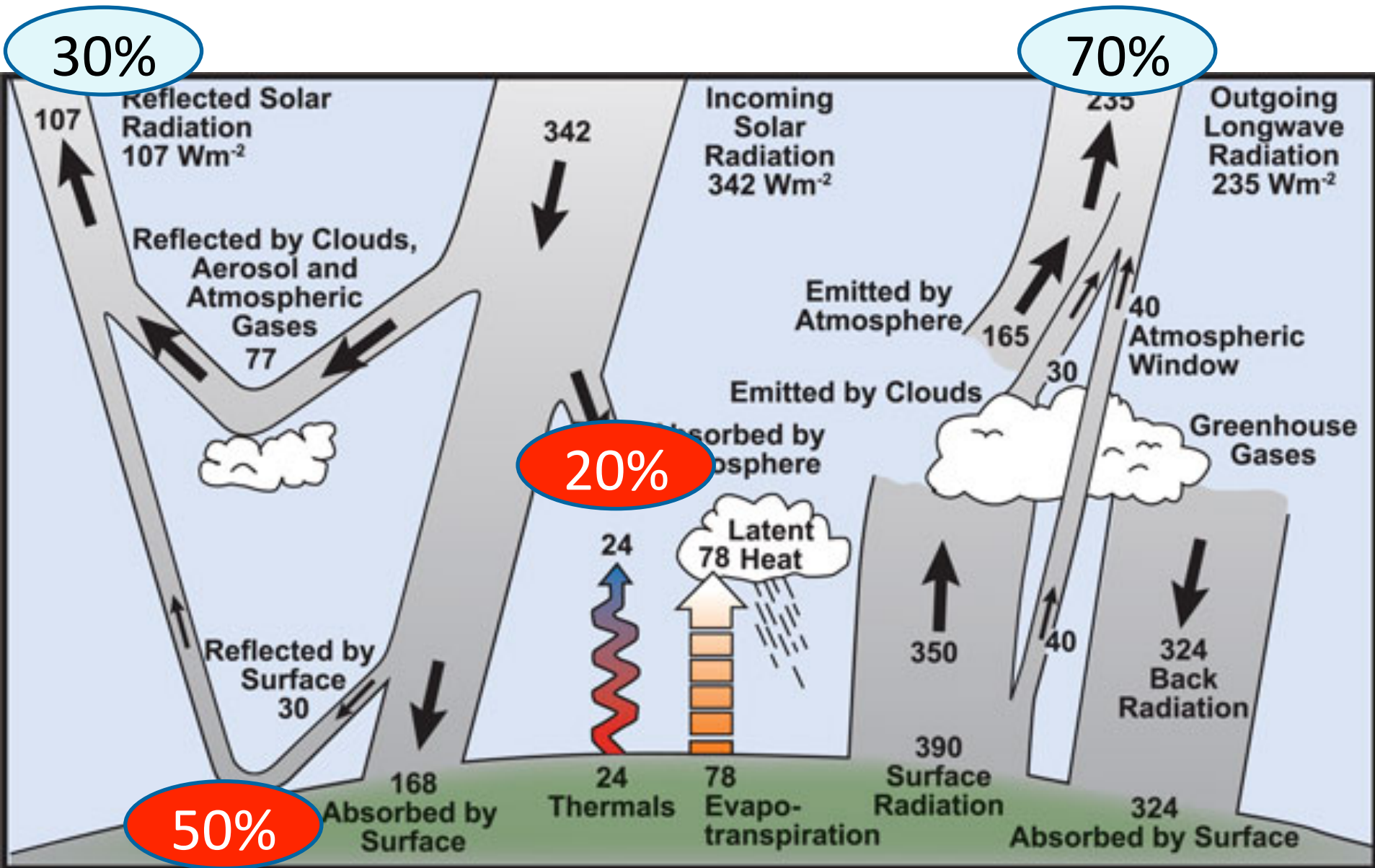
# Solar Radiation Spectrum





Absorptivity of various gases of the atmosphere and the atmosphere as a whole as a function of the wavelength of radiation. An absorptivity of zero means no absorption while a value of one means complete absorption. The dominant absorbers of infrared radiation are water vapor (H<sub>2</sub>O) and carbon dioxide (CO<sub>2</sub>). Oxygen (O<sub>2</sub>) and ozone (O<sub>3</sub>) absorb much of the sun's ultraviolet radiation.

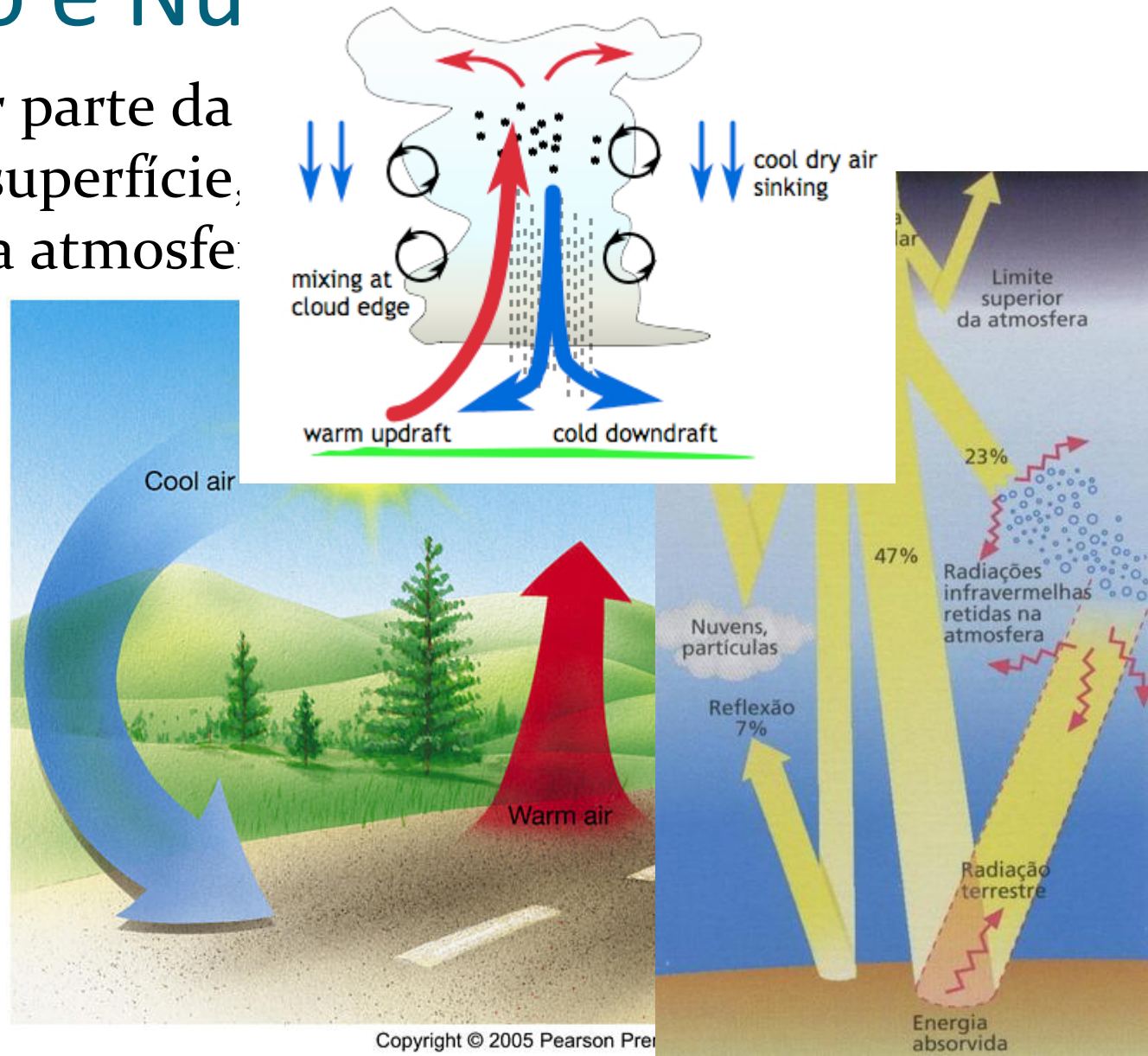
# Atmospheric Energy Balance



# Convecção e Nuvens

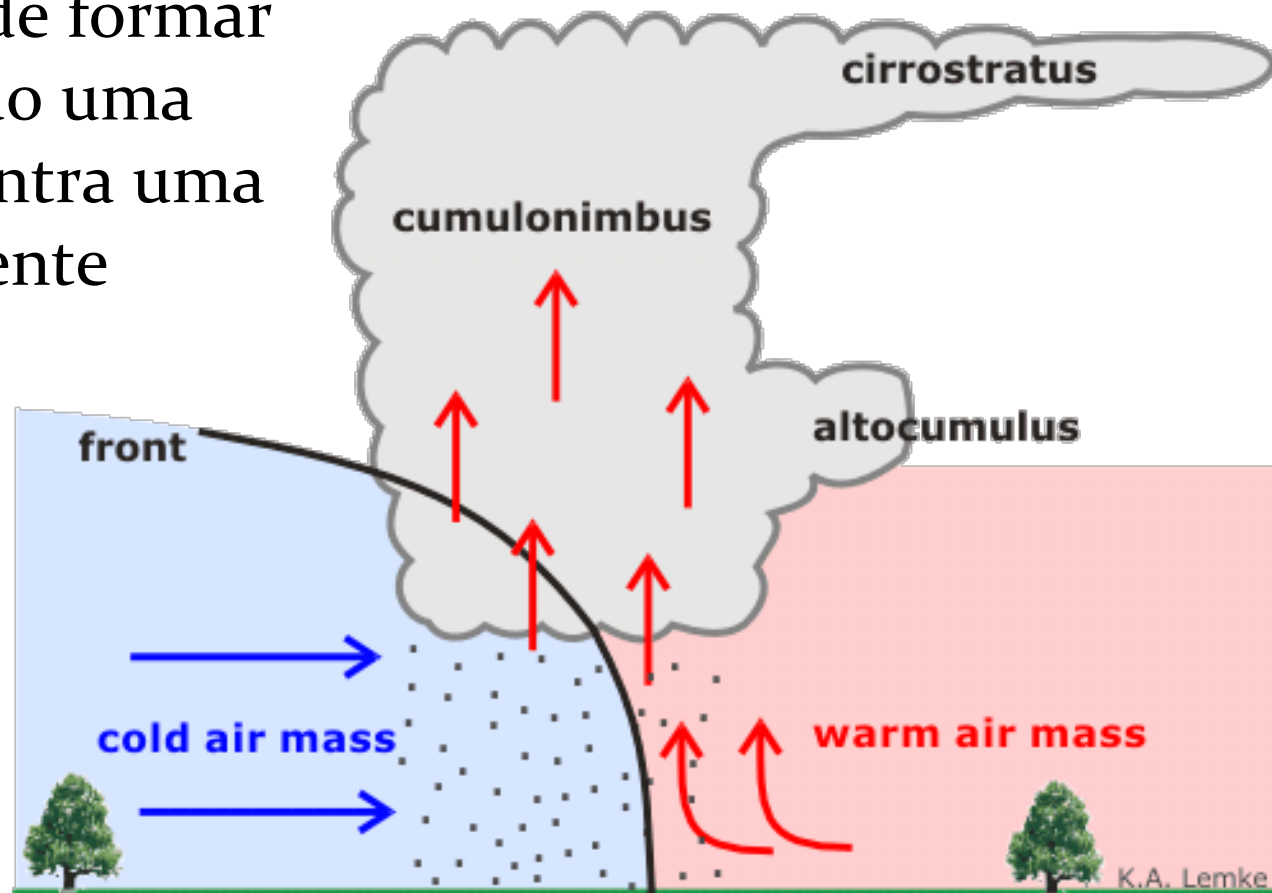
- Como a maior parte da absorvida na superfície, esquentando a atmosfera

O ar quente é menos denso e sobe, pois o ar frio que está em cima é mais pesado.



# Nuvens e Frentes

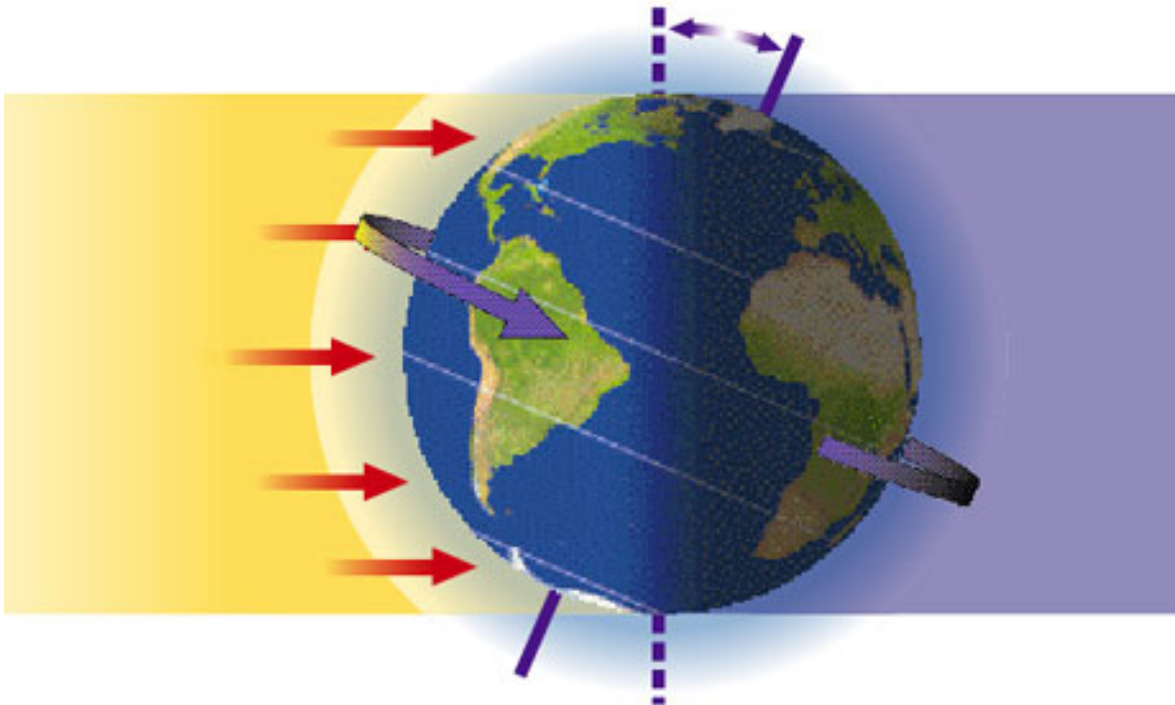
- Uma outra maneira muito comum de formar nuvens é quando uma frente fria encontra uma massa de ar quente



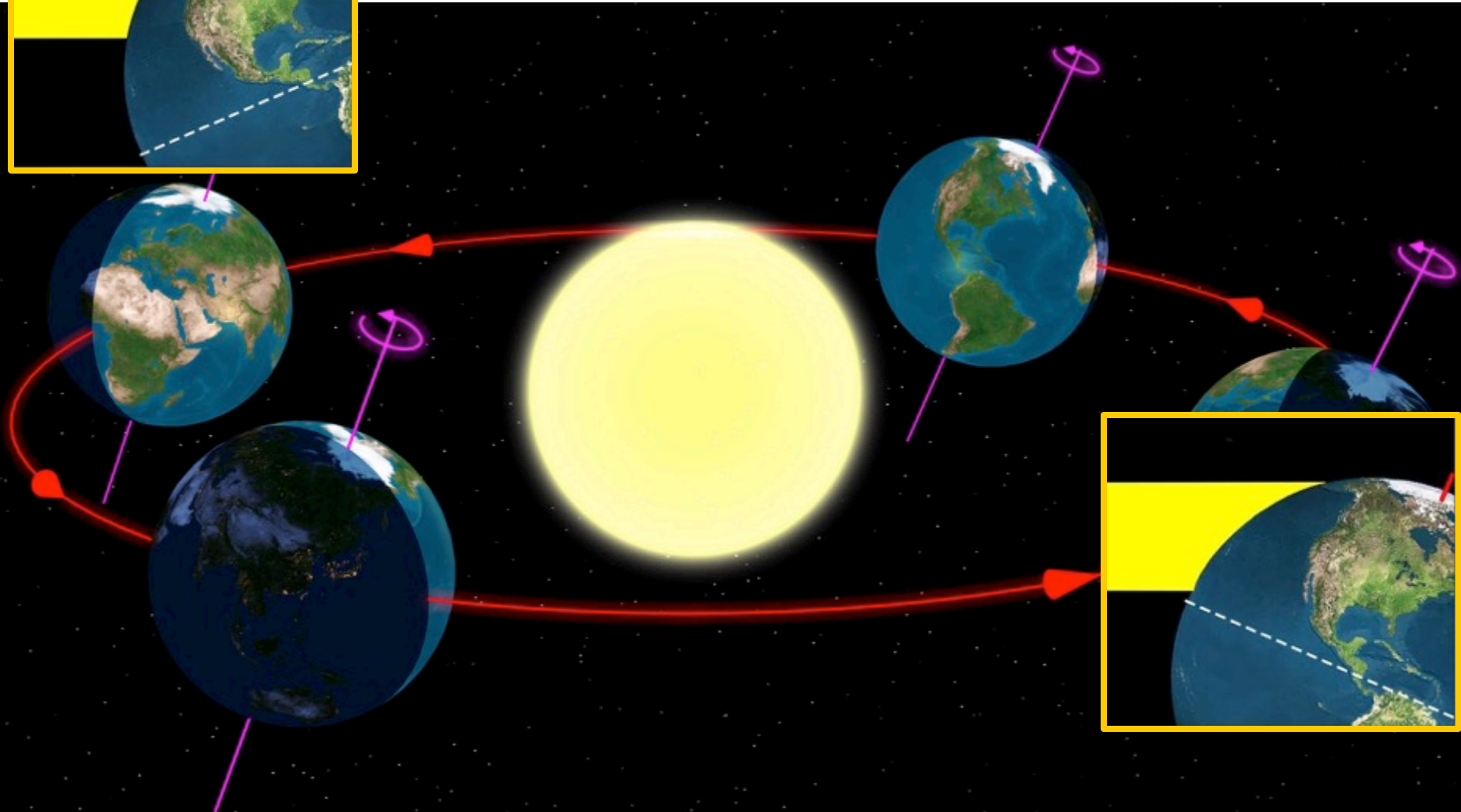


# Dia e Noite

- A energia que recebemos do Sol também não é distribuída igualmente pela superfície do planeta!
  - Giro em torno do próprio eixo
  - O eixo é inclinado em relação a órbita em torno do Sol



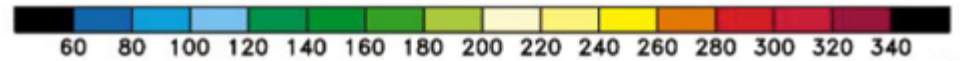
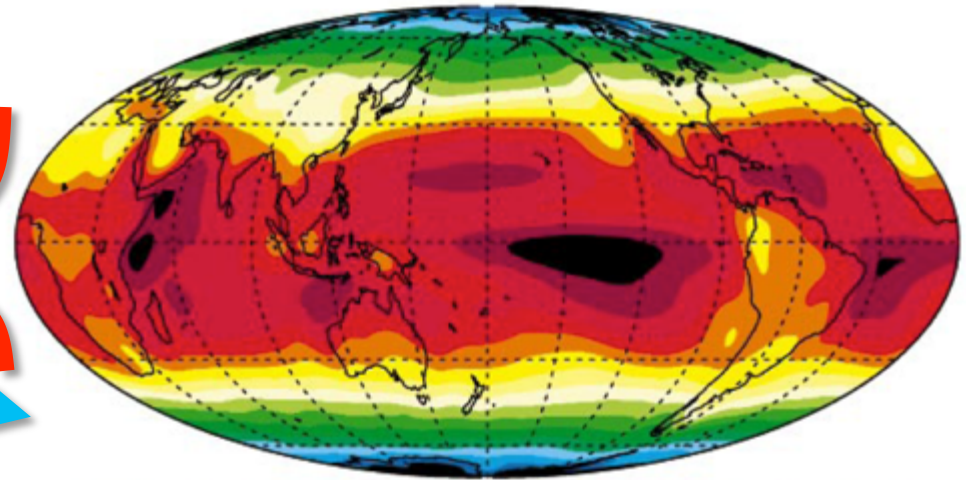
# Estações do ano



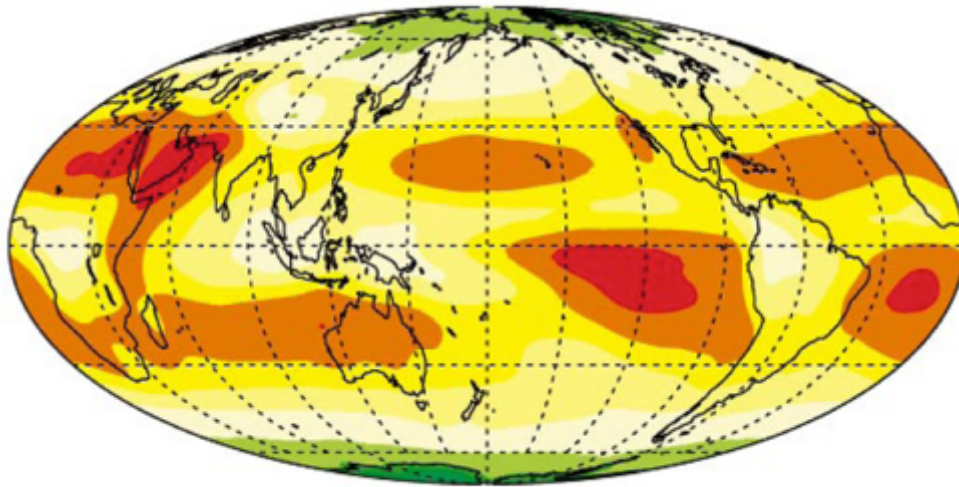
# Distribution on the Earth

Hot air rises at the equator

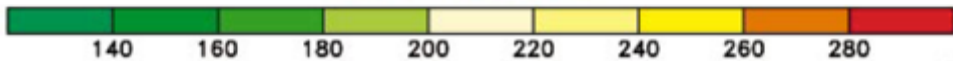
Cold dry air descends at high latitudes



Annual mean solar radiation budget at top (W/m<sup>2</sup>)

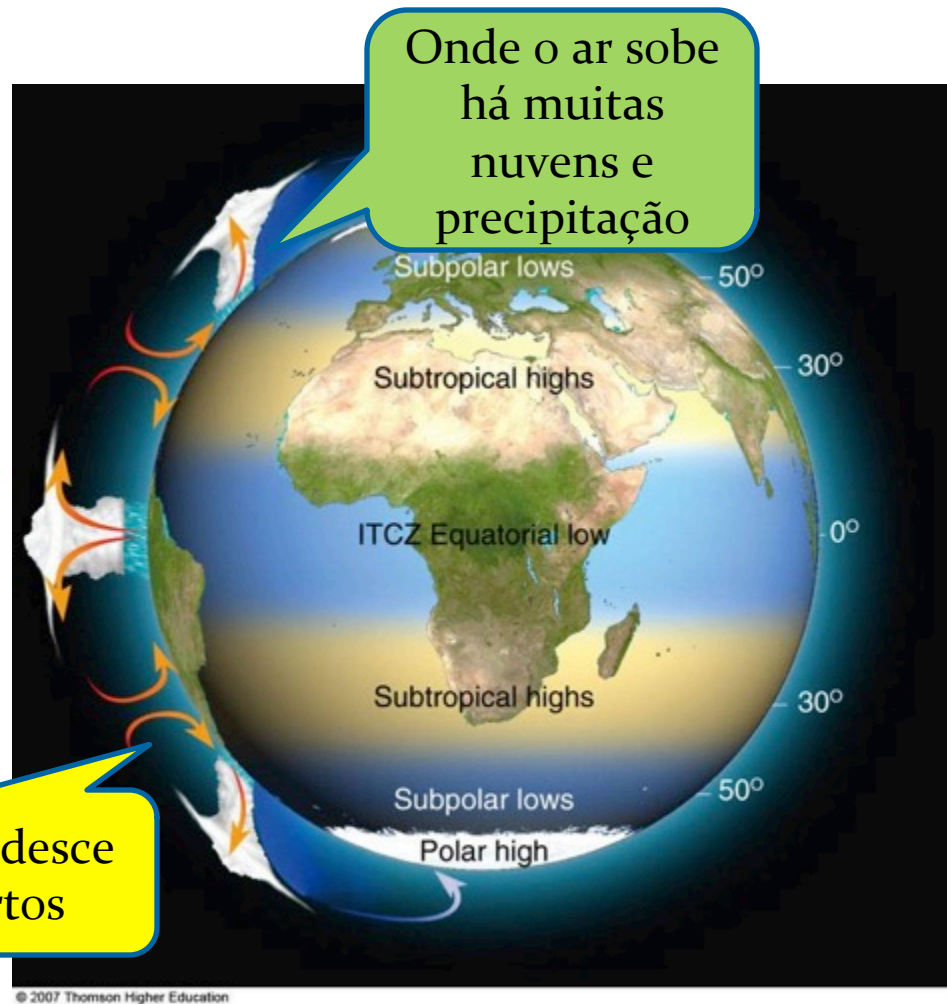
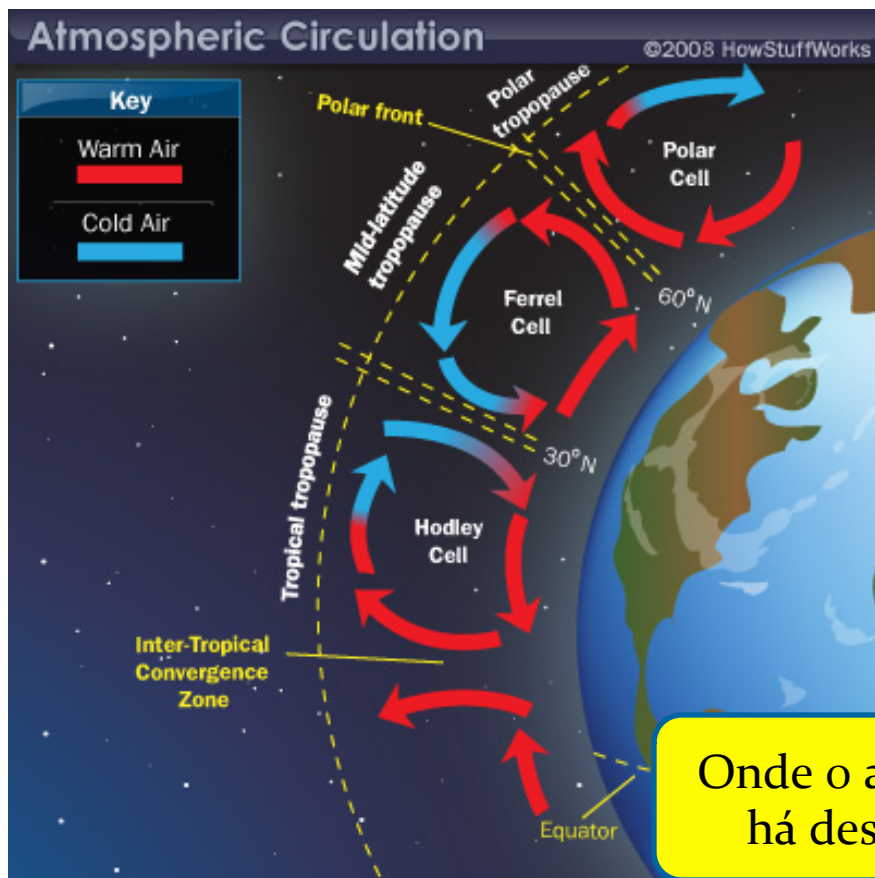


Annual mean outgoing long wave radiation at top (W/m<sup>2</sup>)



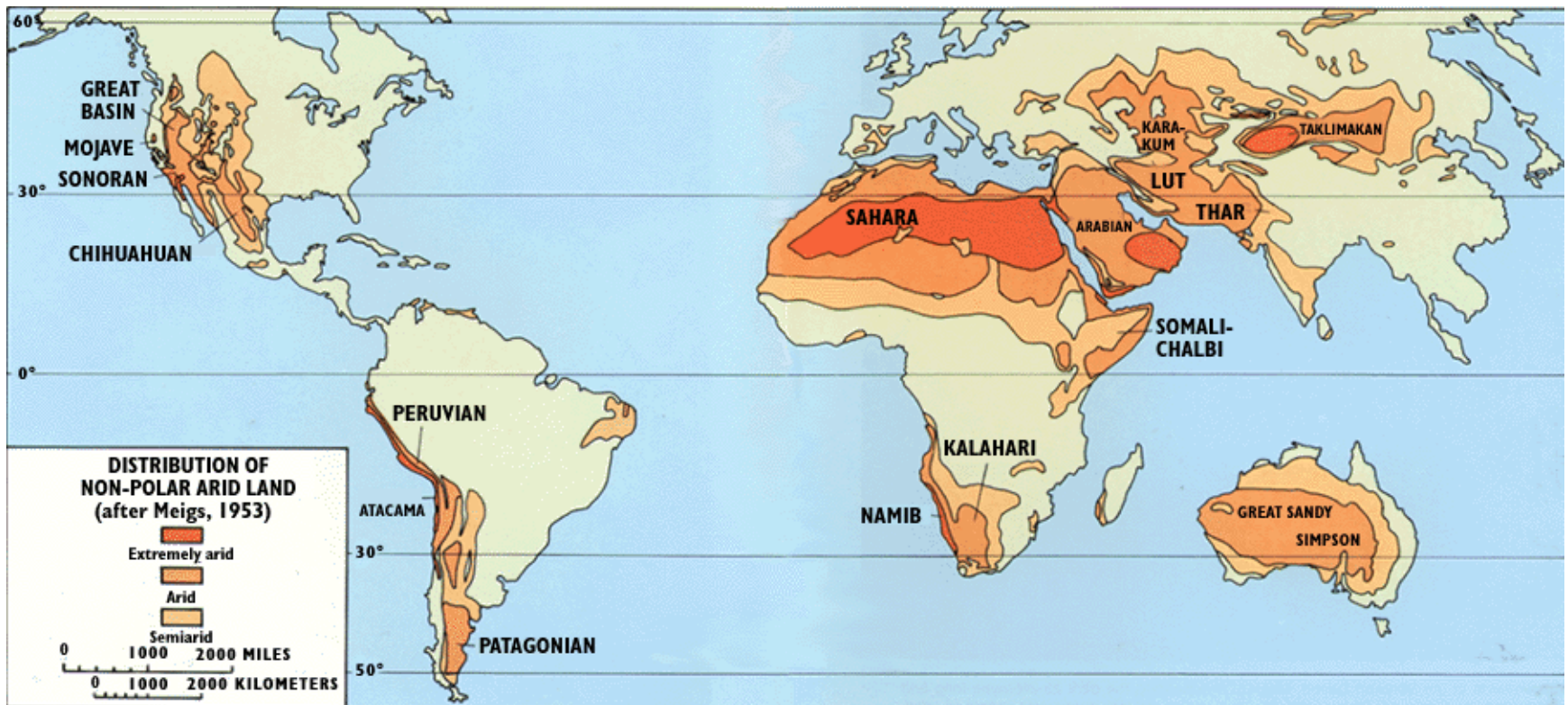
Trenberth and Stepaniak, J. Clim. (2003)

# Circulação de grande escala



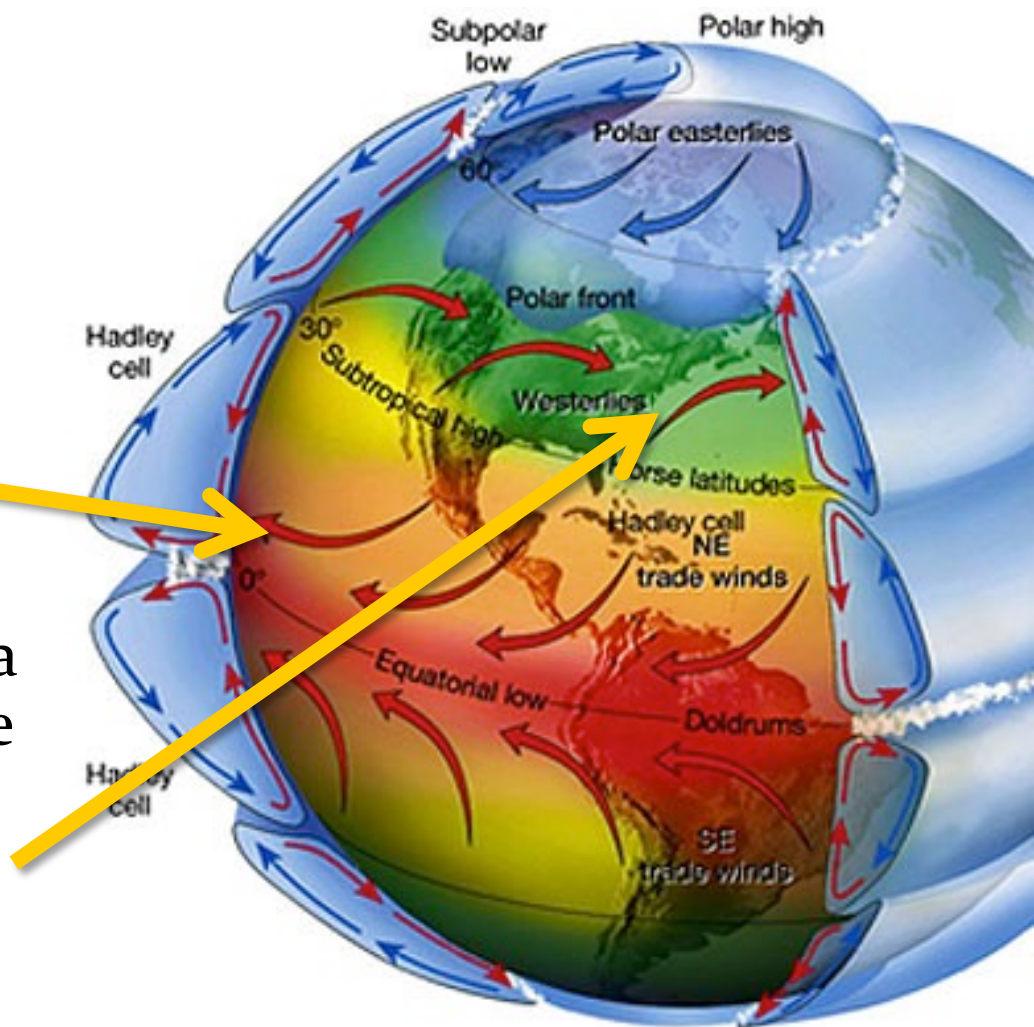
# Localização dos grandes desertos

- Nas latitudes onde o ar desce seco e frio, há precipitação é pouco e as regiões são desérticas.



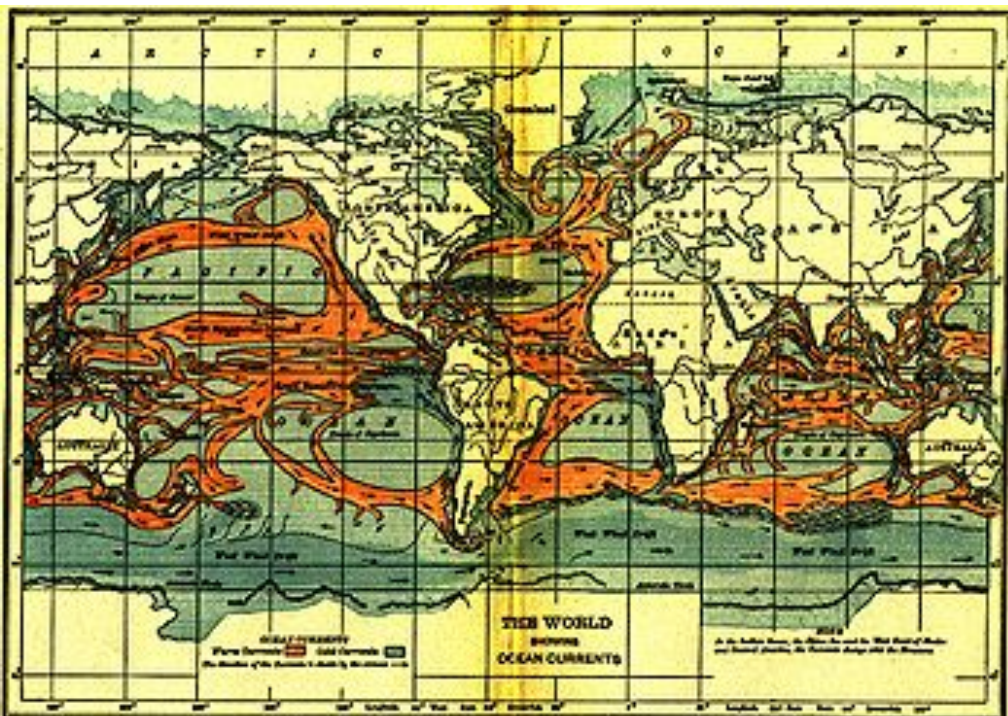
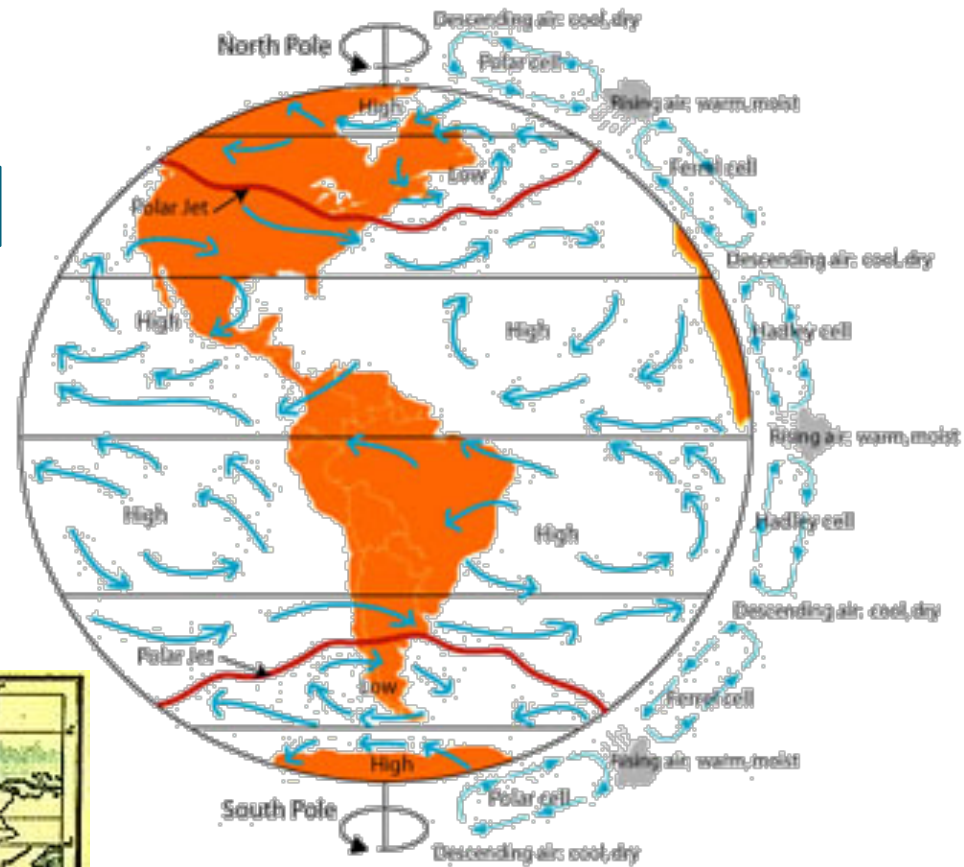
# Circulação global

- Como a terra gira, por inércia, a atmosfera acaba ficando para traz.
  - A célula de Hadley fica inclinada no equador, formando os **Alísios**.
  - Já o ar que desce em latitudes mais altas está girando mais rápido que a chão (ele estava no EQ), e a circulação é ao contrário

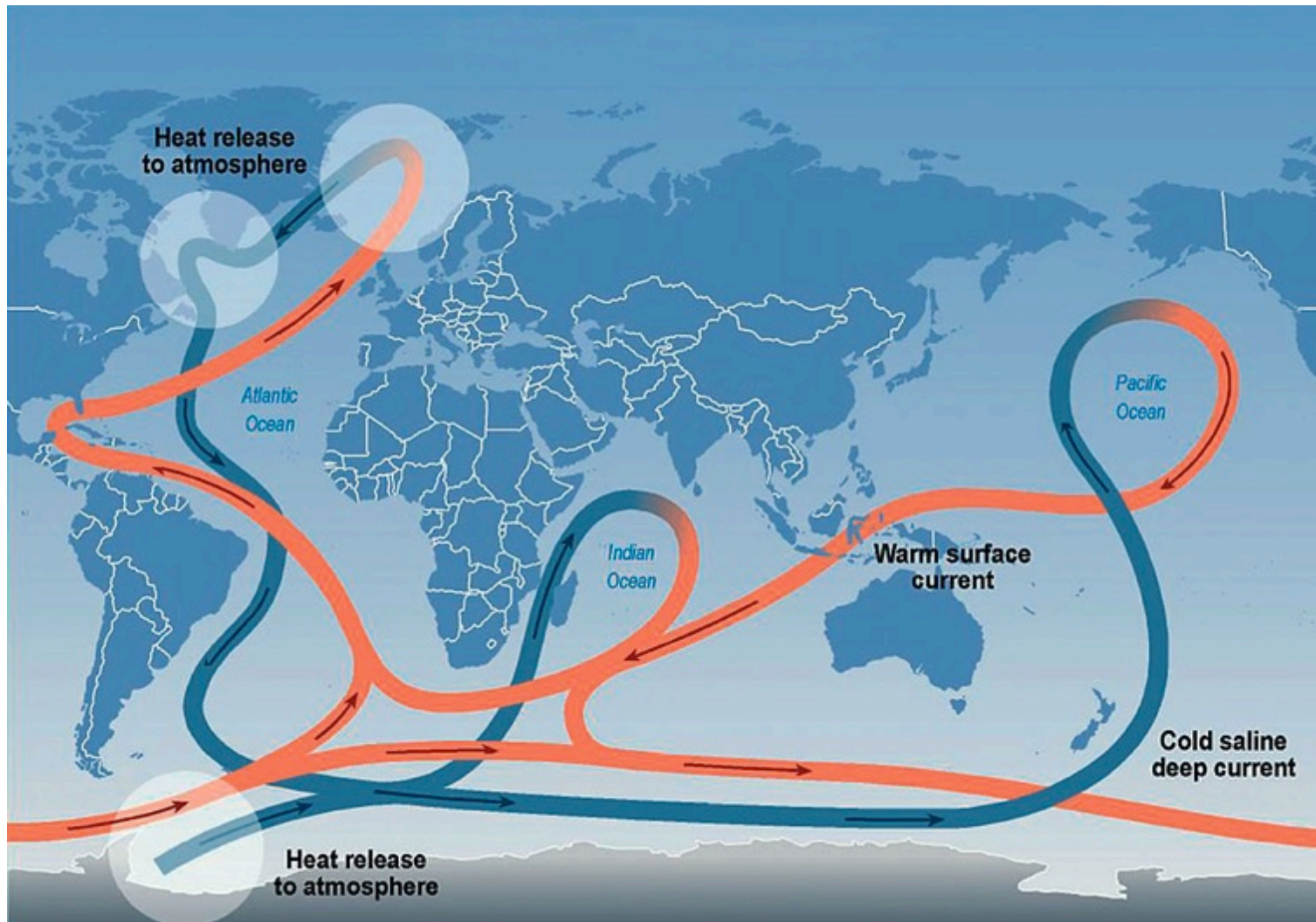


# Circulação Global

- Os ventos próximos da superfície forçam o surgimento de correntes oceânicas



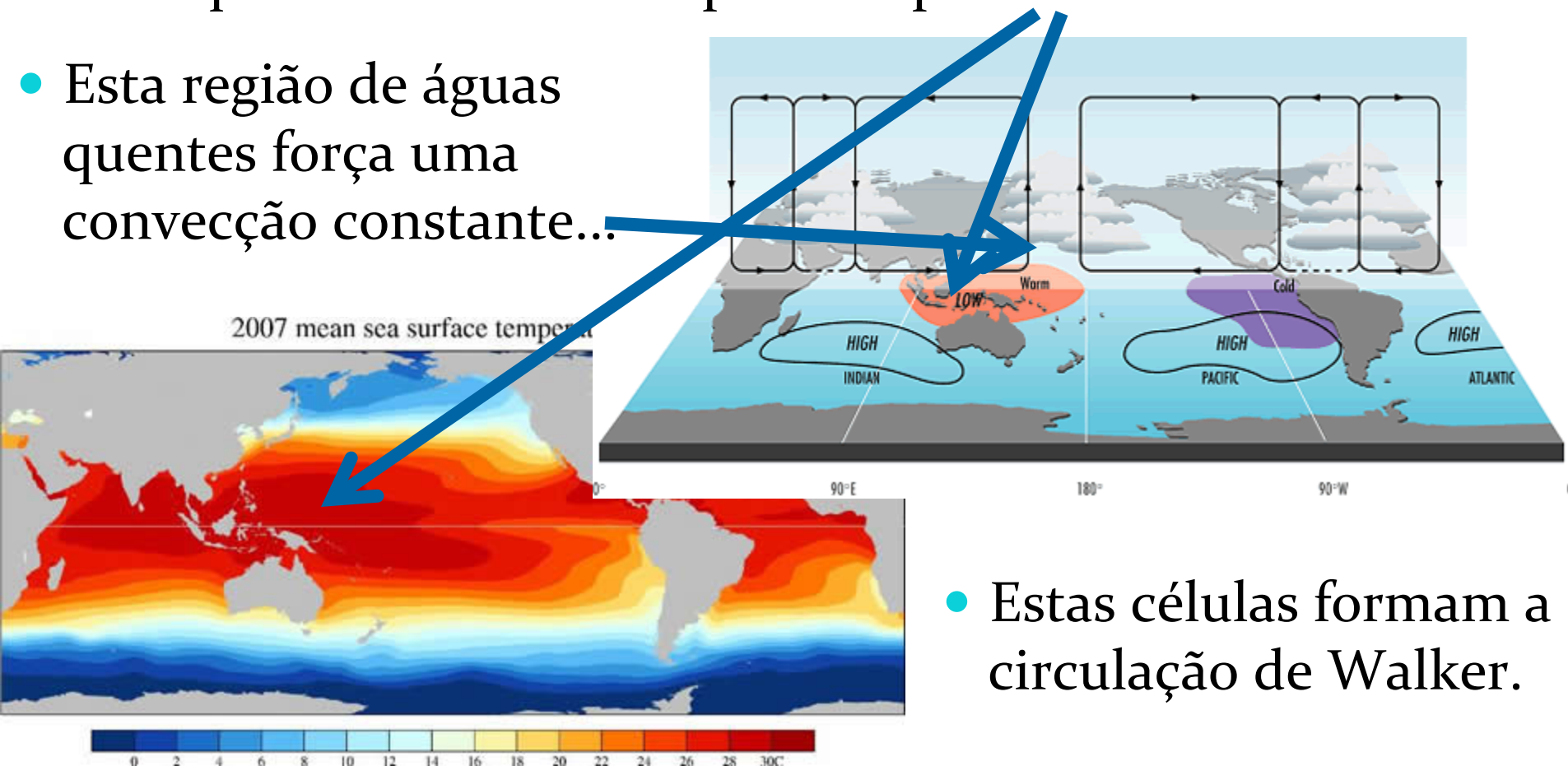
# Oceanic circulation





# Circulação de Walker

- Devido a presença constante dos ventos alísios, a água mais quente vai sendo empurrada para oeste.
- Esta região de águas quentes força uma convecção constante...

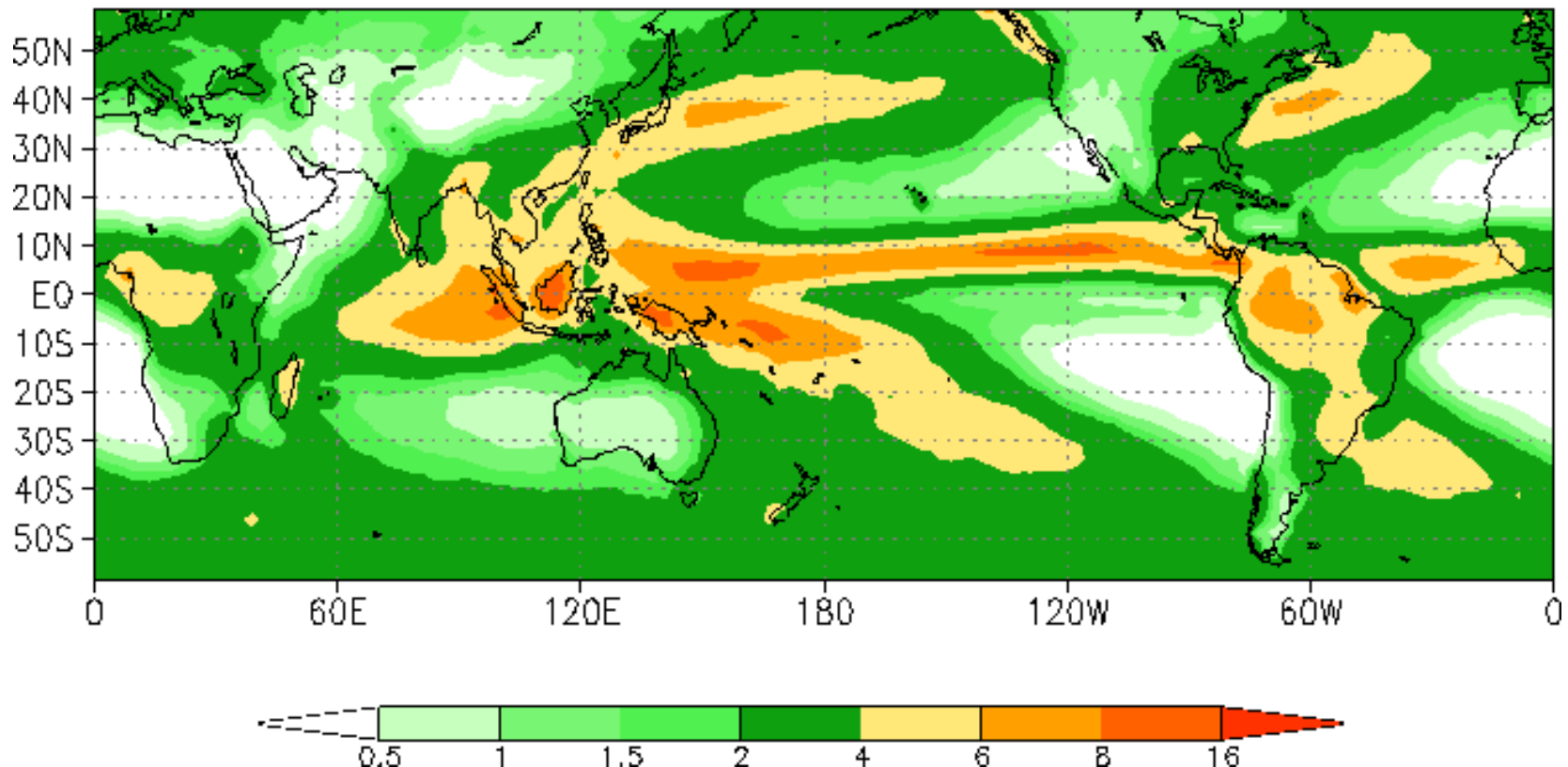


- Estas células formam a circulação de Walker.

# Precipitação

- A distribuição global dos ventos, e principalmente de onde eles sobem e descem, determinam em grande parte a distribuição da precipitação

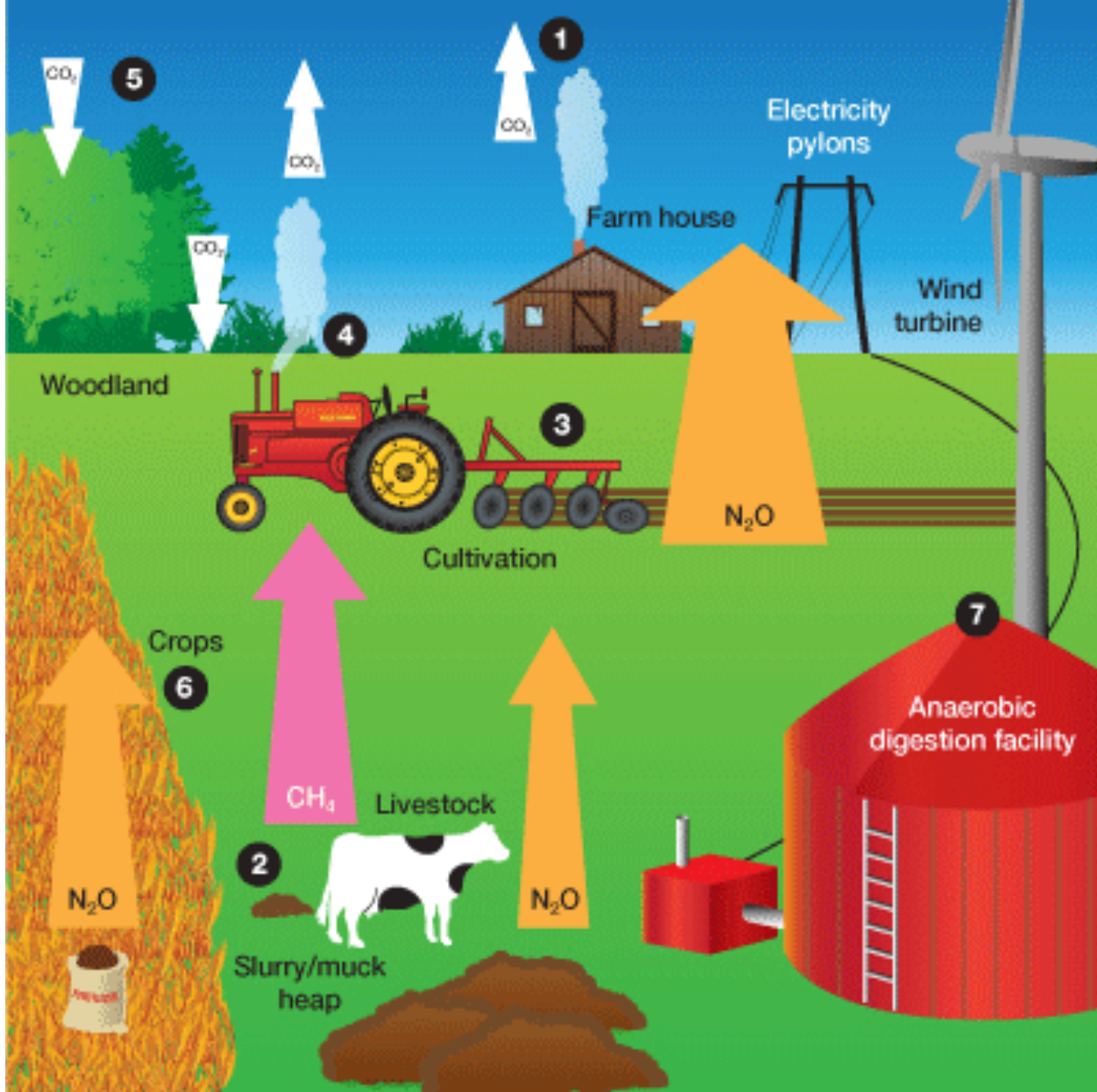
Pentad mean Precipitation (mm/day): Annual mean



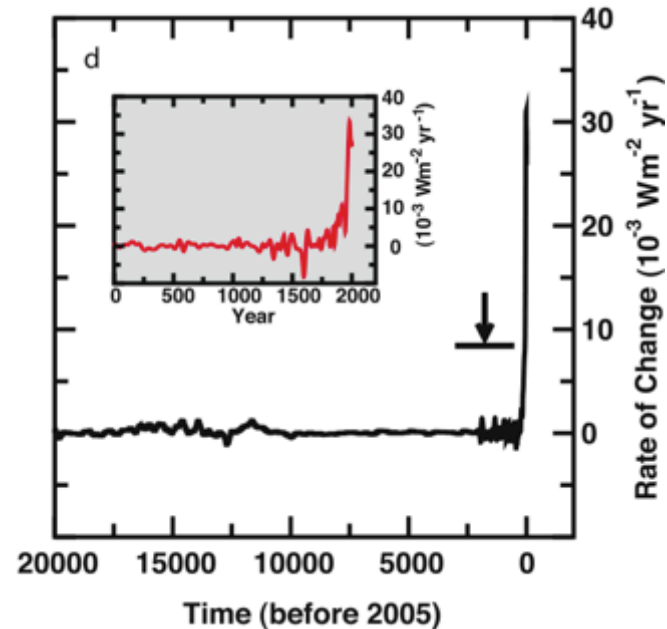
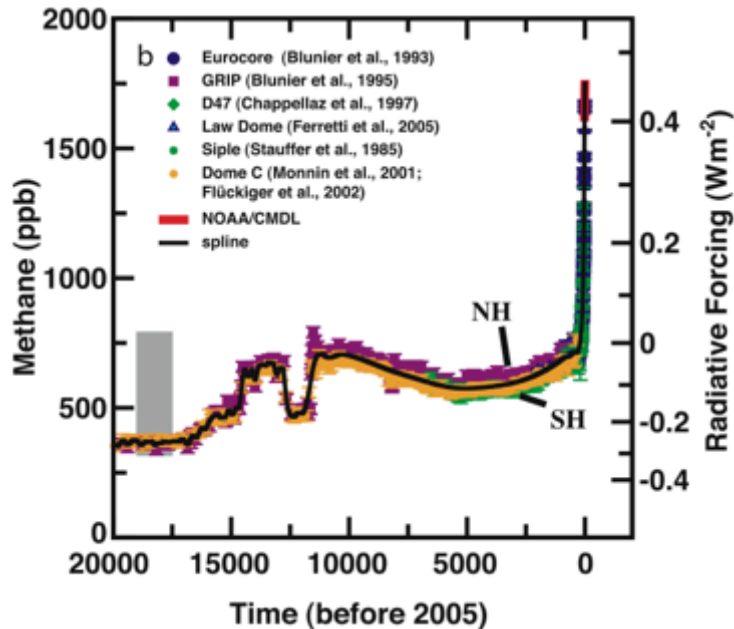
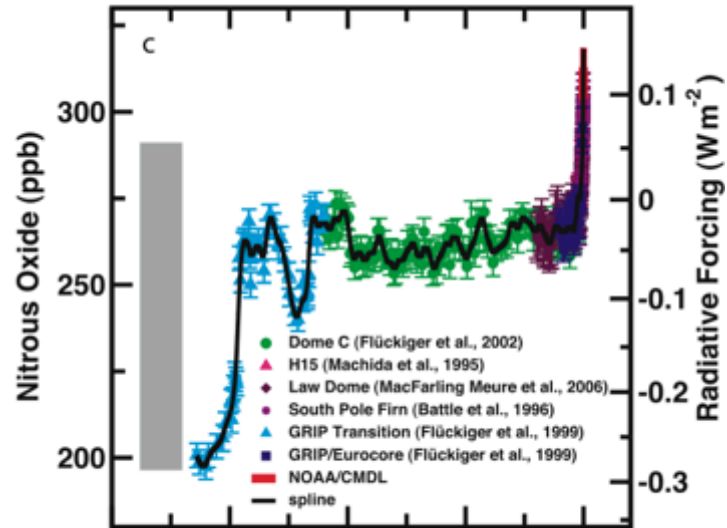
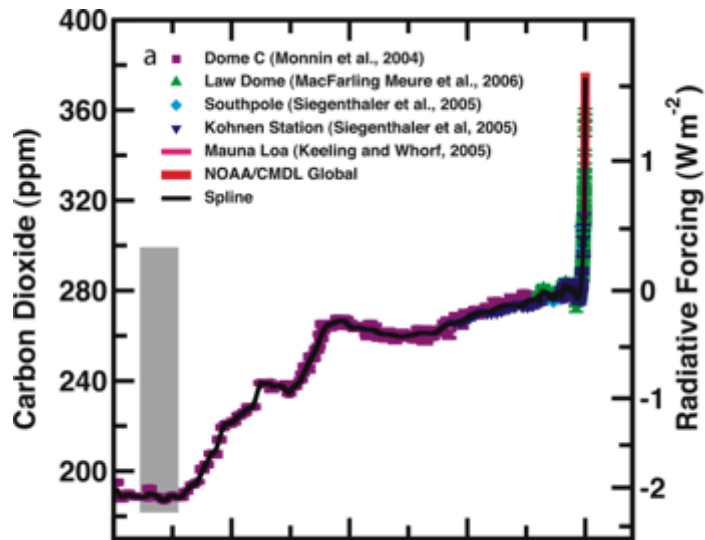
# Circulação da Atmosfera

- A terra recebe energia do sol, a maior parte chega na região tropical e é absorvida na superfície.
- Esse aquecimento desigual força o surgimento de ventos na atmosfera e de correntes no oceano.
- Esta circulação redistribui a energia

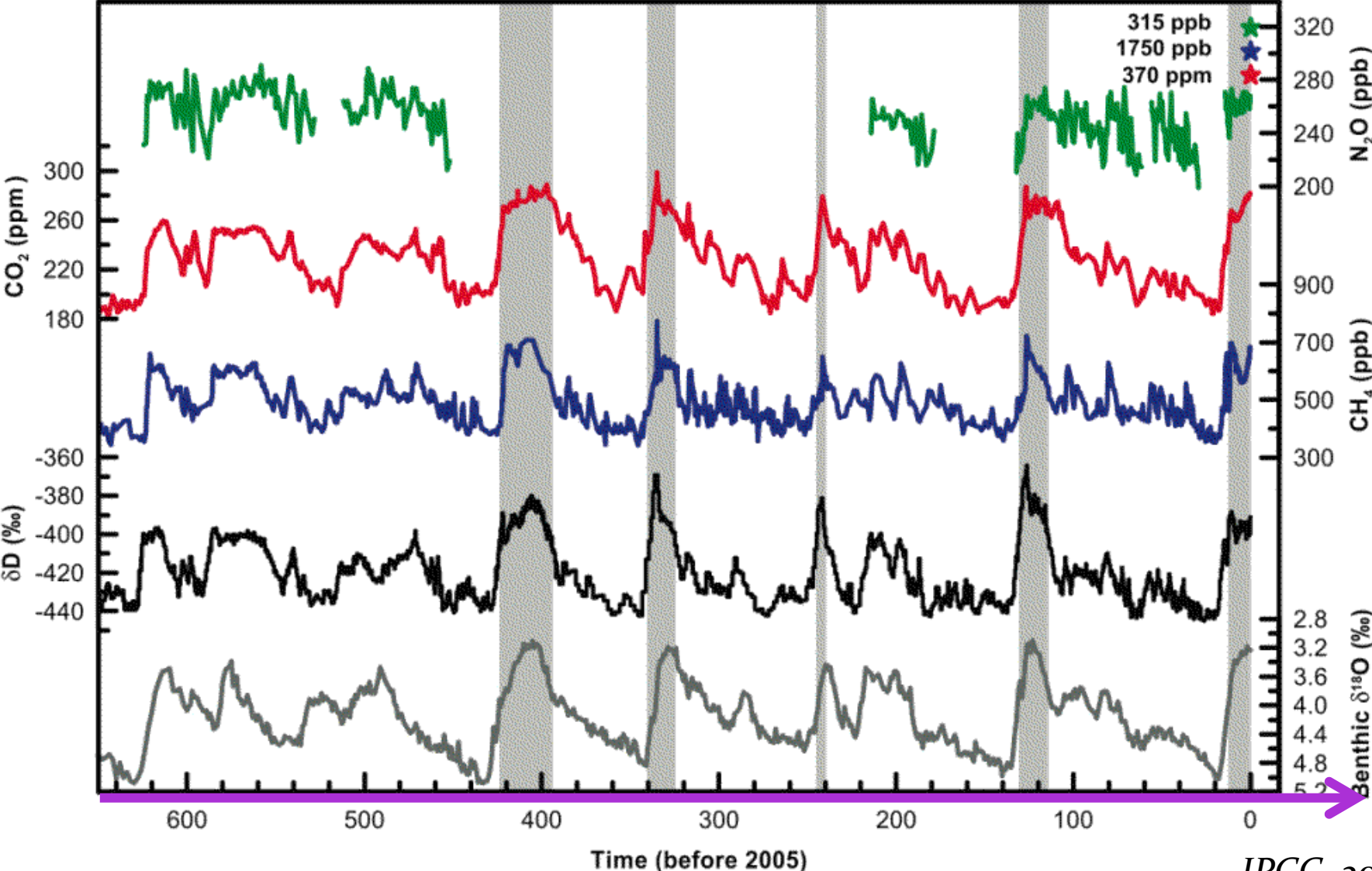
A teoria que explica o movimentos dos fluídos é chamada de dinâmica dos fluídos.



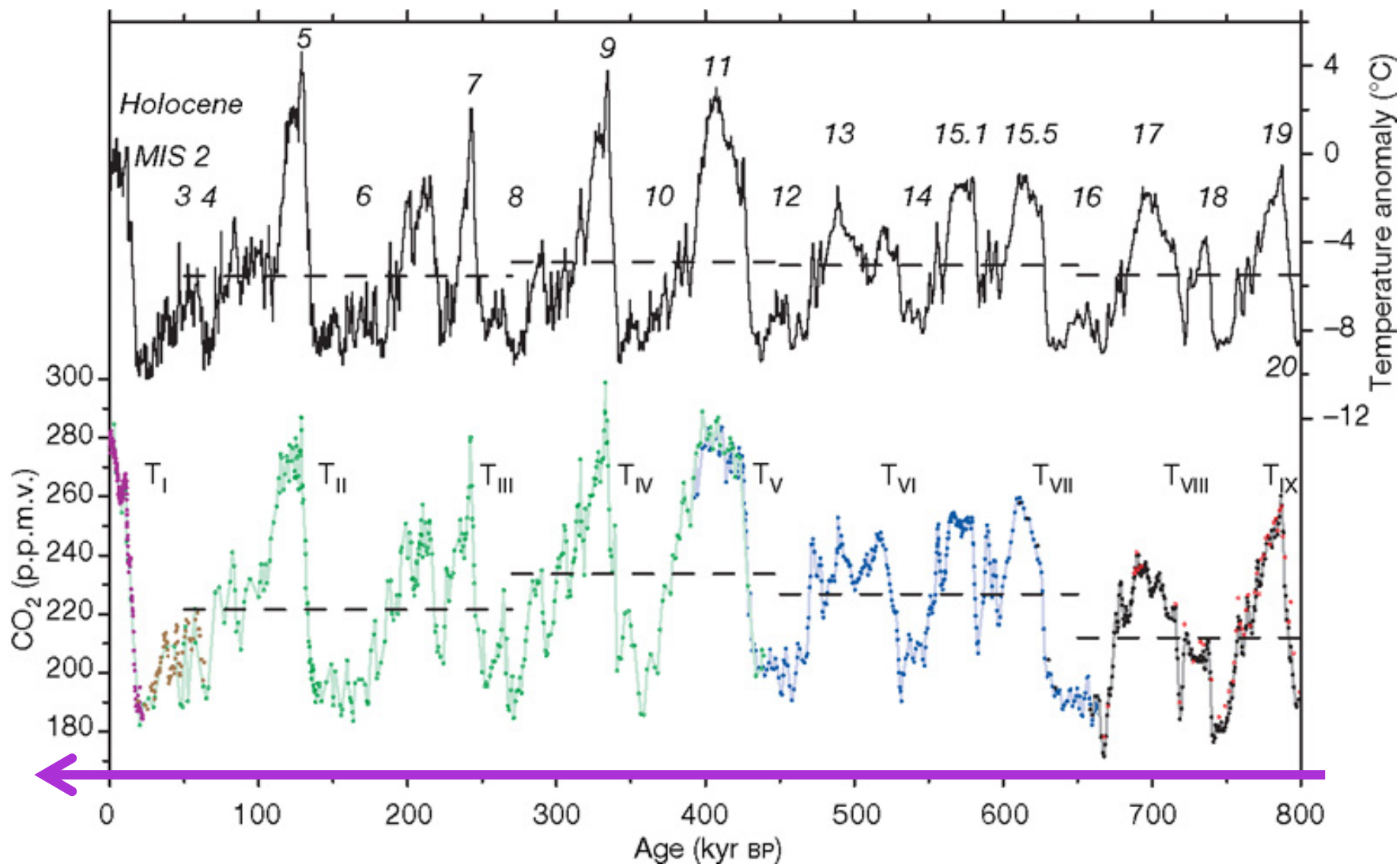
# Antropogenic? Yes!



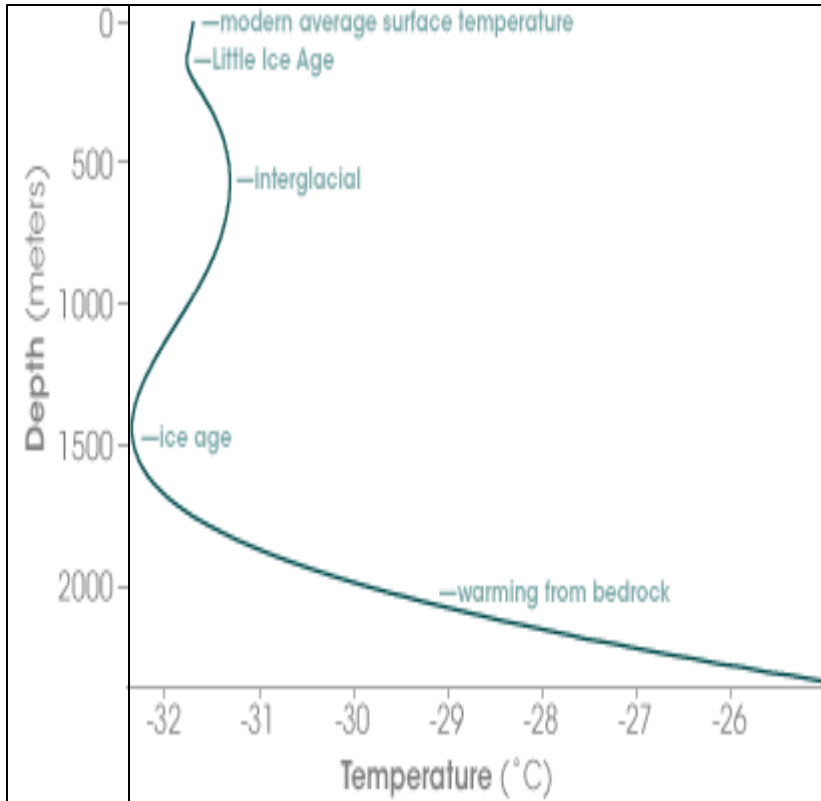
# Vostok (650ky)



# Dome C (800ky)



# Ice Cores



53-54 meters

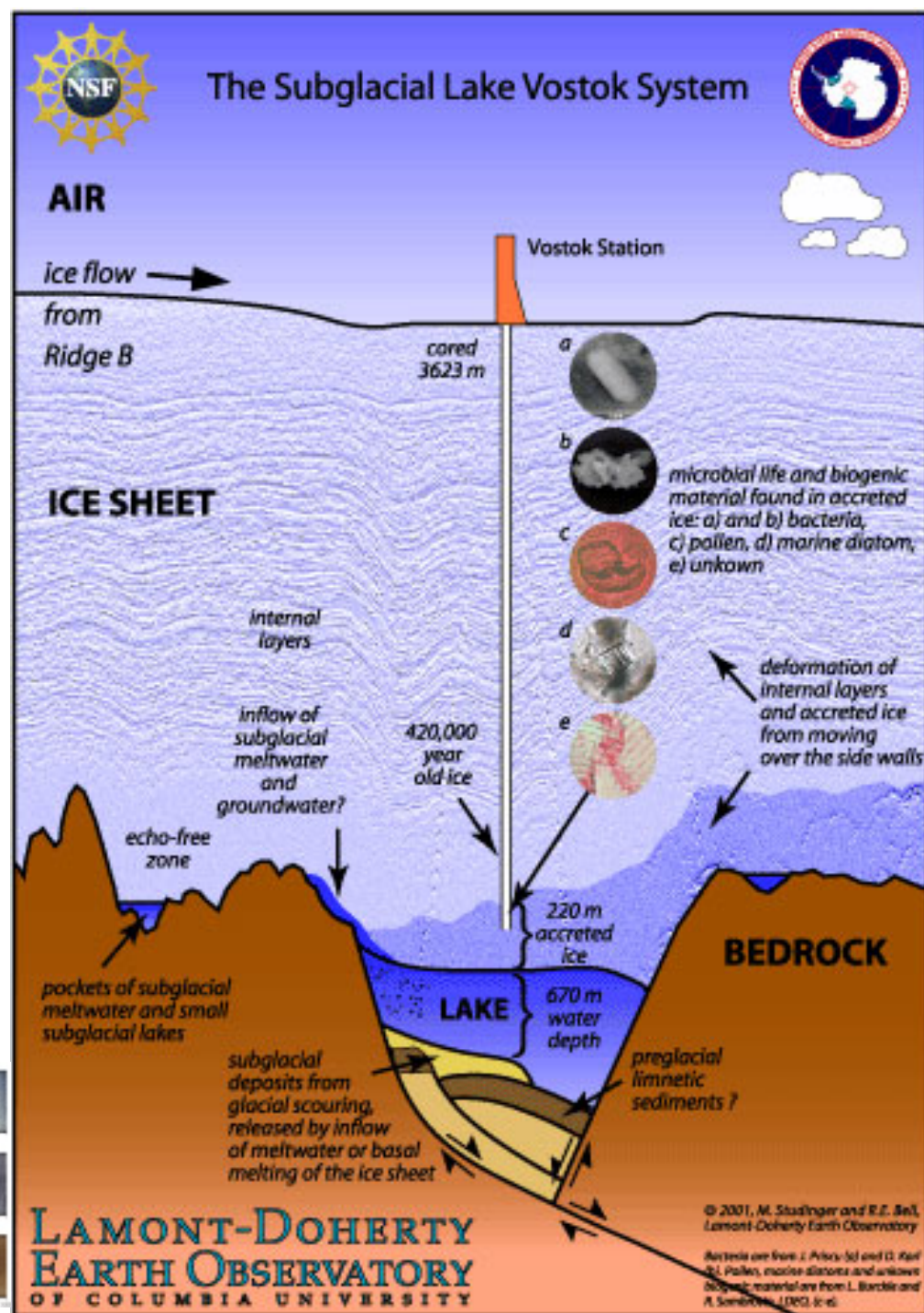
53-54m

1836-1837 meters

1836-1837m

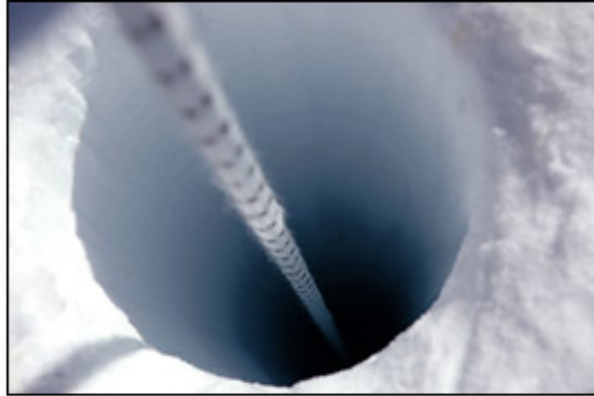
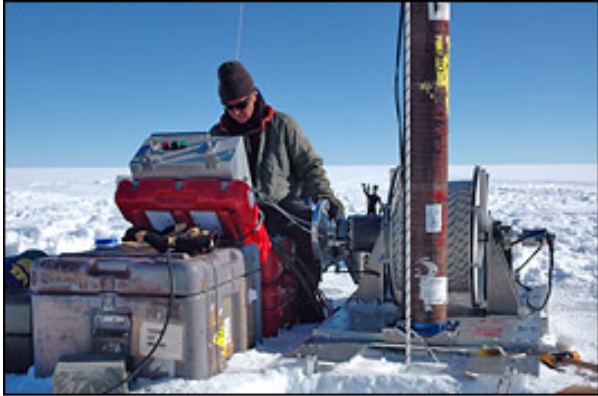
3050-3051 meters

3050-3051m





# Ice Cores

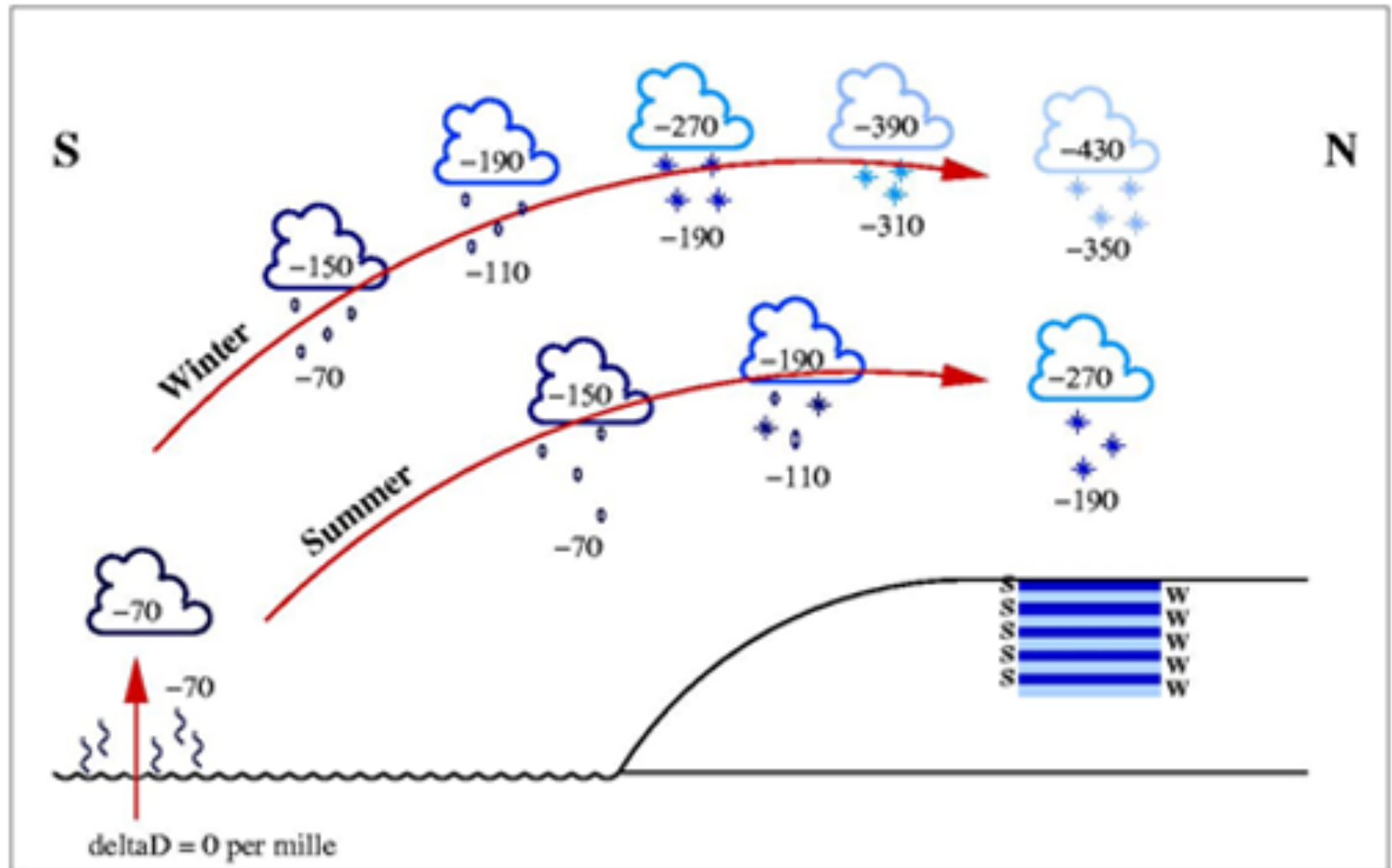


# Dating ice

1. Counting layers
  - From temperature
  - From solar radiation
2. Pre dated tracers
  - Other ice cores
  - Volcanic sediments
3. Radioactive elements

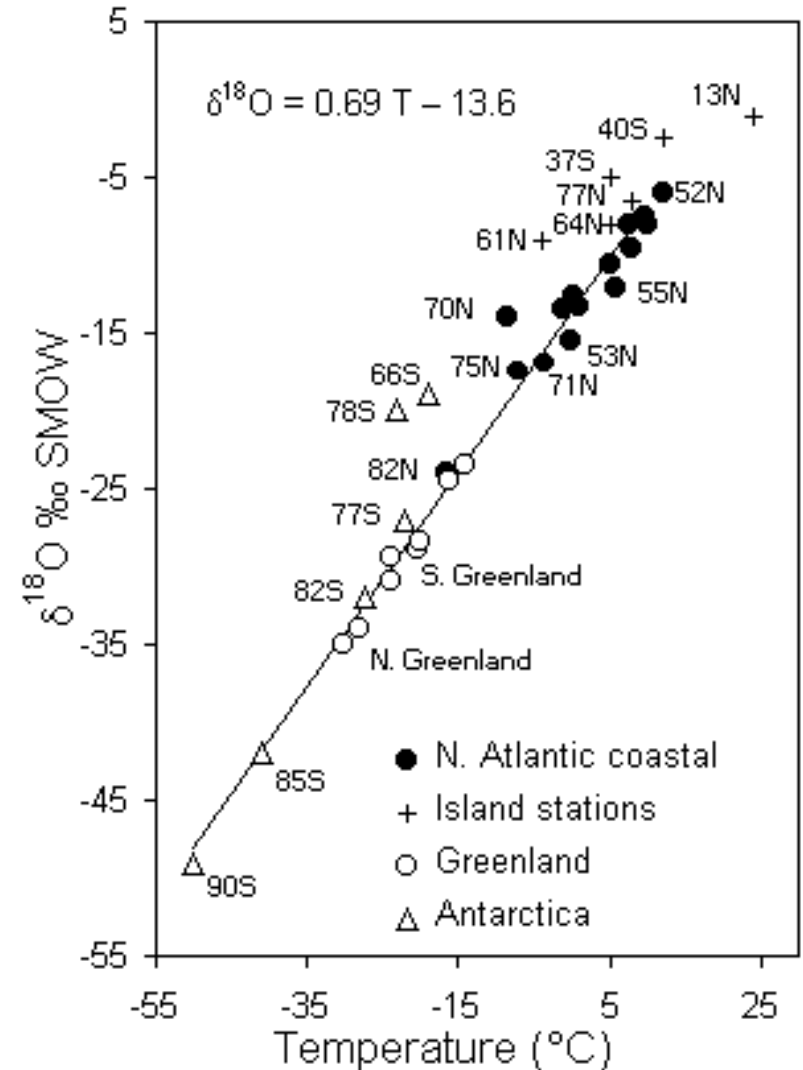
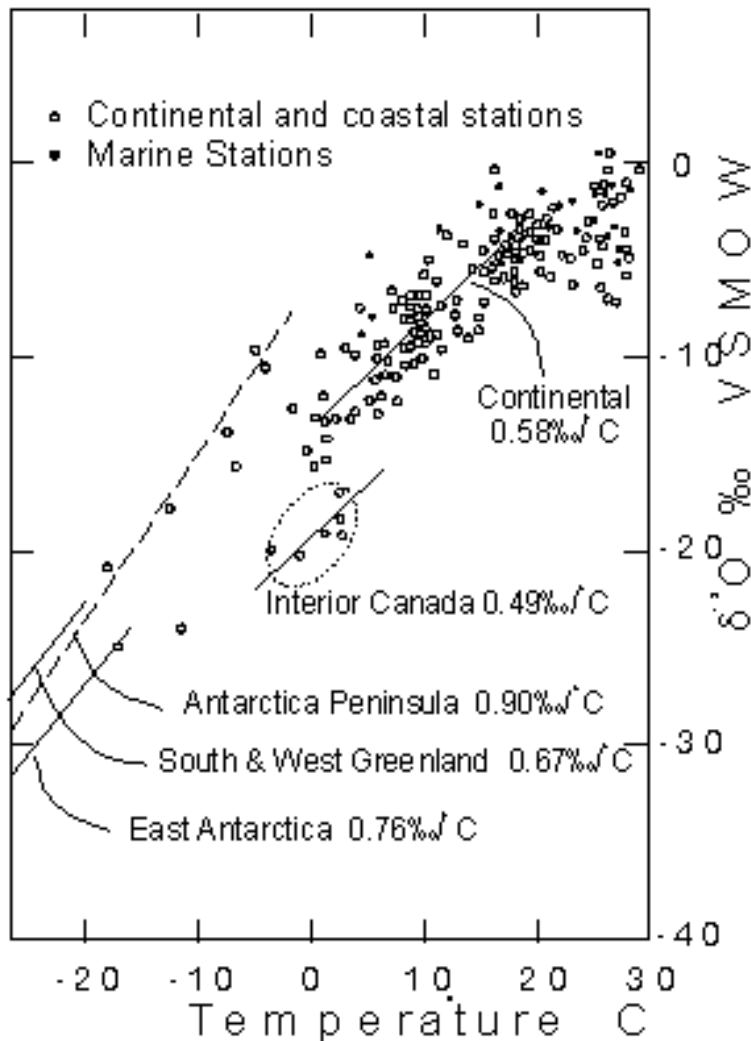


# One way



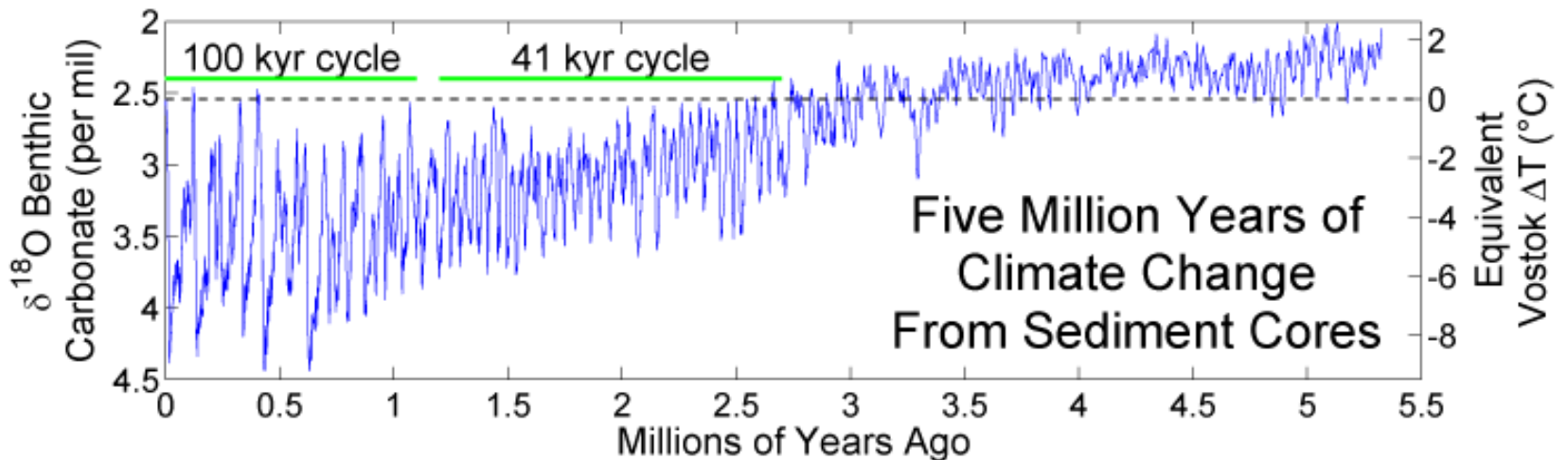
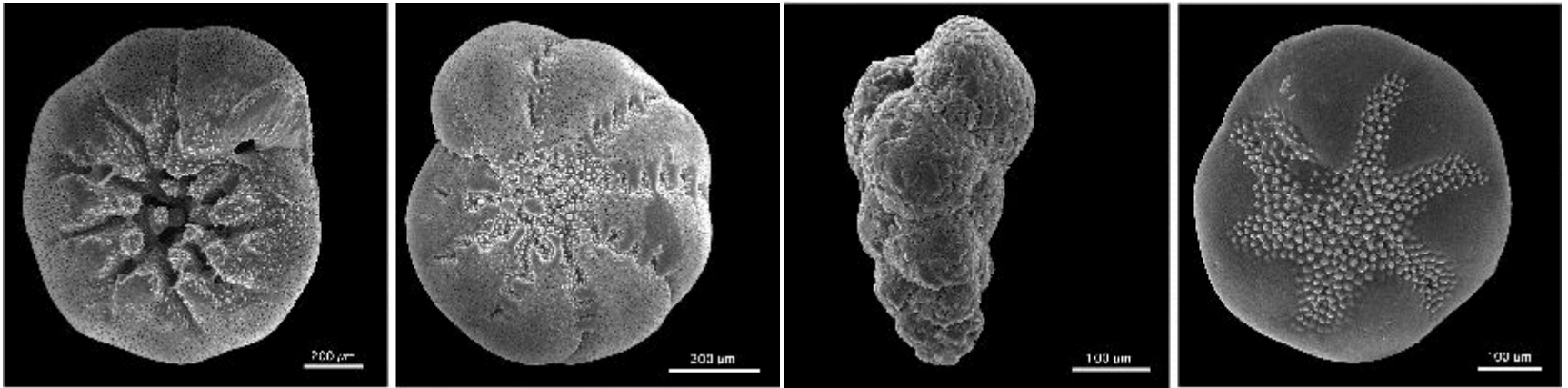
# Temperature dependency

$$\delta^{18}O = \left( \frac{\left( \frac{^{18}O}{^{16}O} \right)_{sample}}{\left( \frac{^{18}O}{^{16}O} \right)_{standard}} - 1 \right) * 1000 \text{ ‰}$$



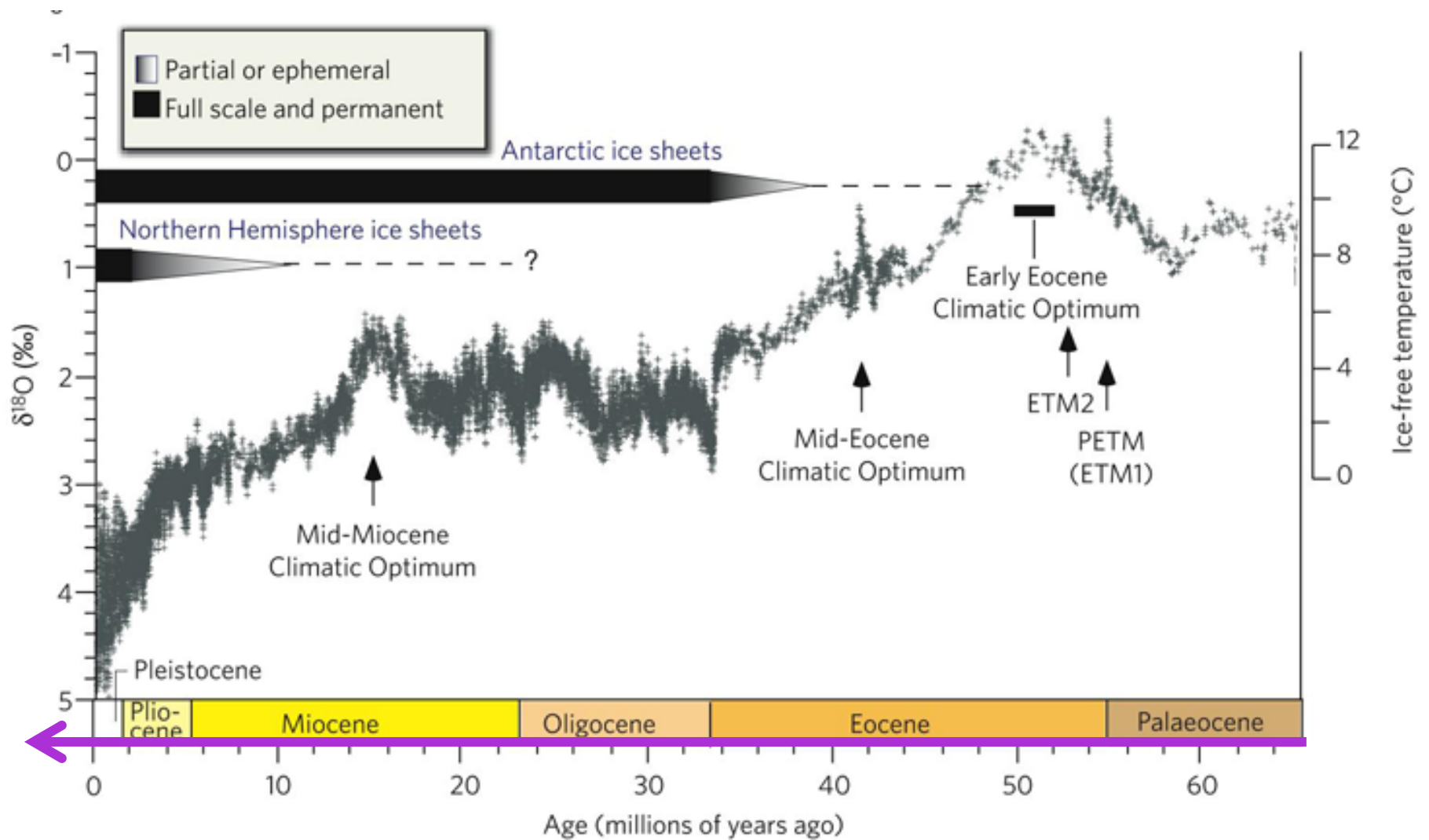
# Same thing now on ocean sediments

Shell of Foraminifera's is made of  $\text{CaCO}_3$



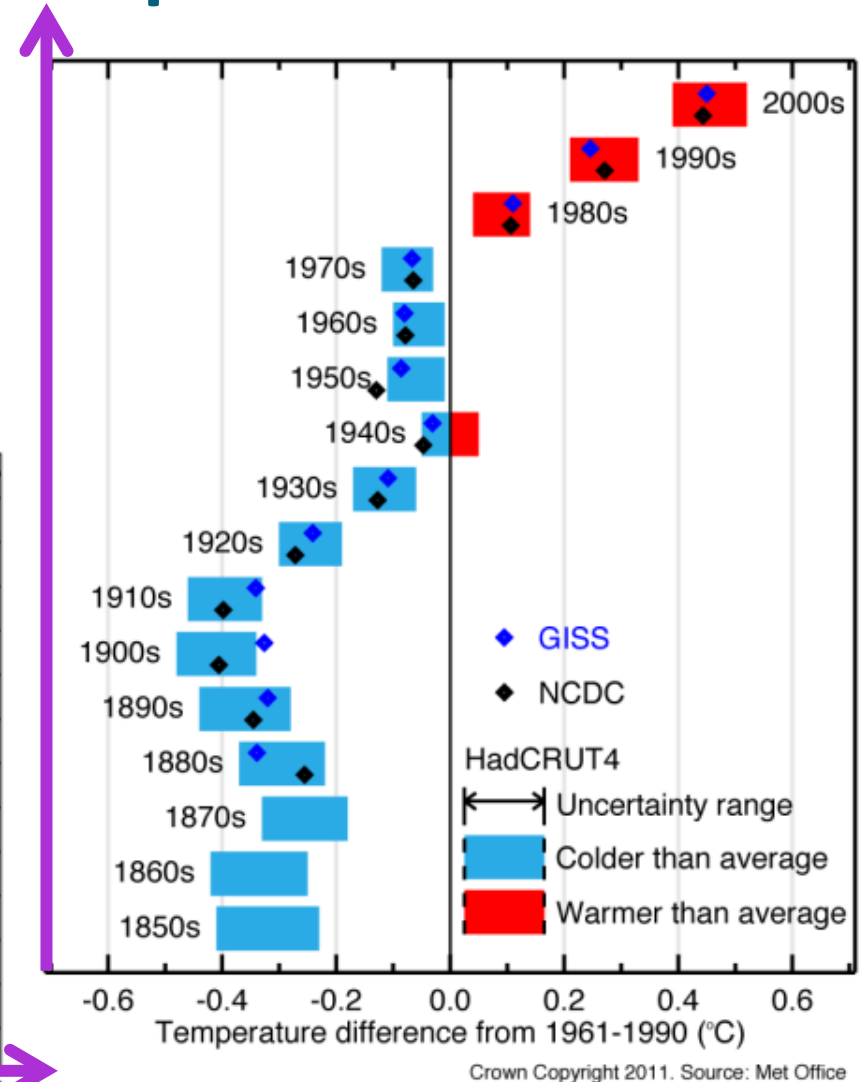
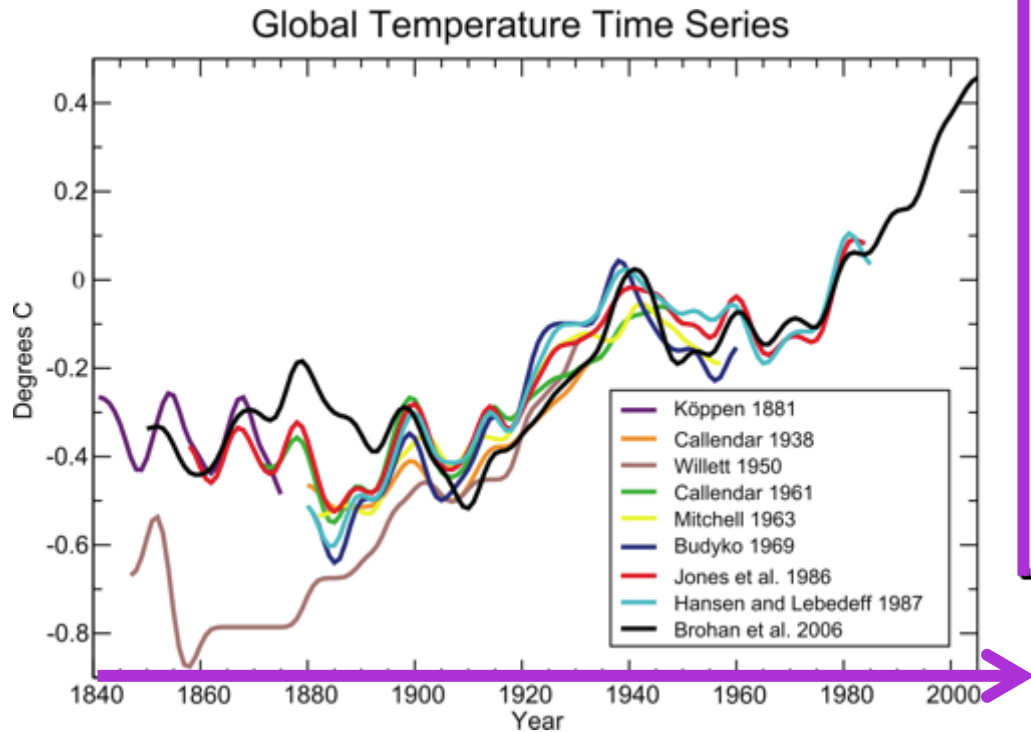
Lisiecki and Raymo (Paleoceanography, 2005).

# Even deeper

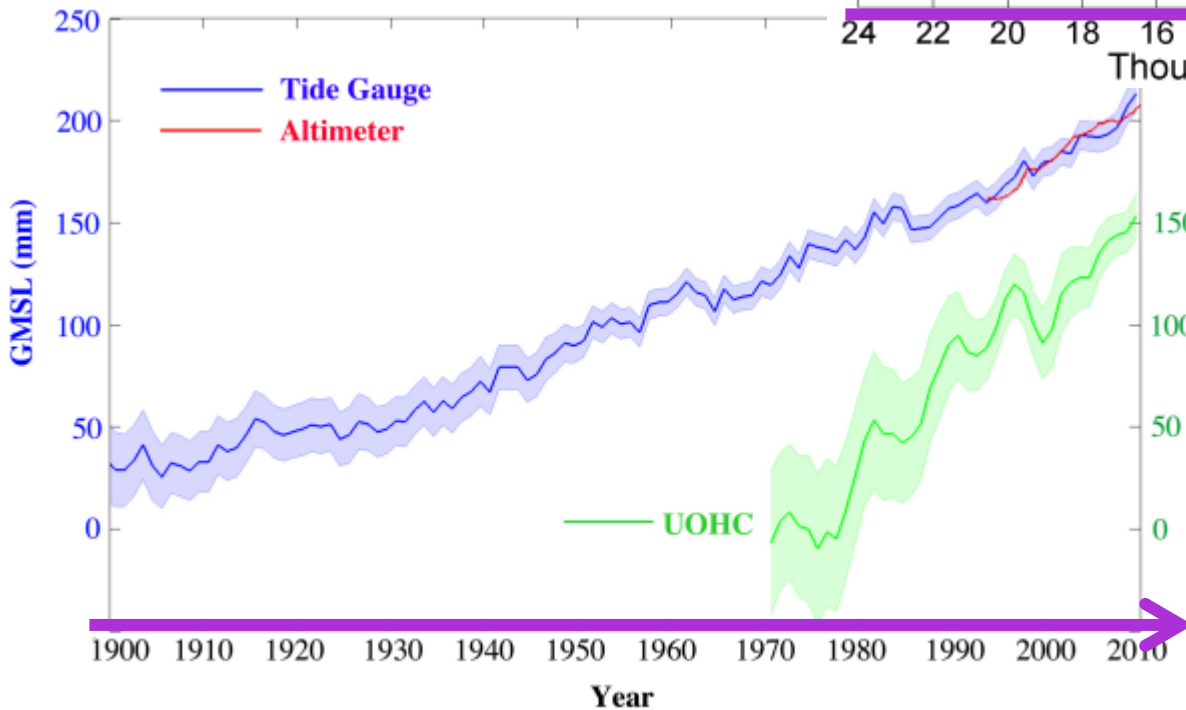
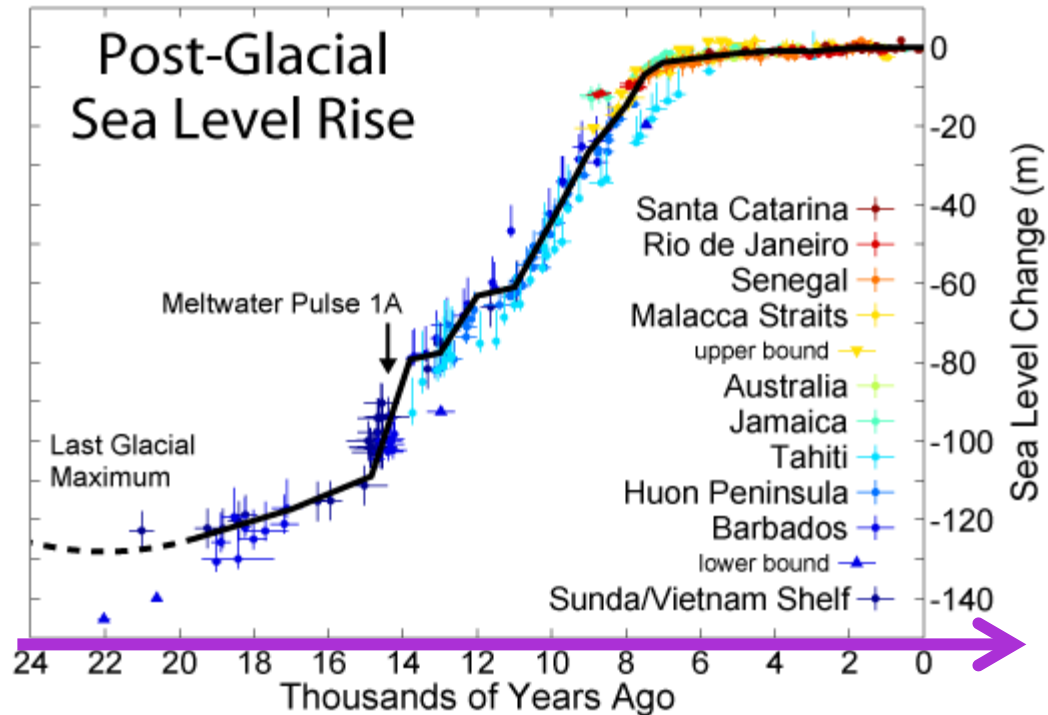


Zachos et al. (Nature, 2008)

# Observation of Temperature Increase



# (2) Sea level



Church and White, 2011;  
Jevrejeva et al., 2008;  
Nerem et al., 2010



# A bit of history

Weather forecasts began as observation of repetitive patterns

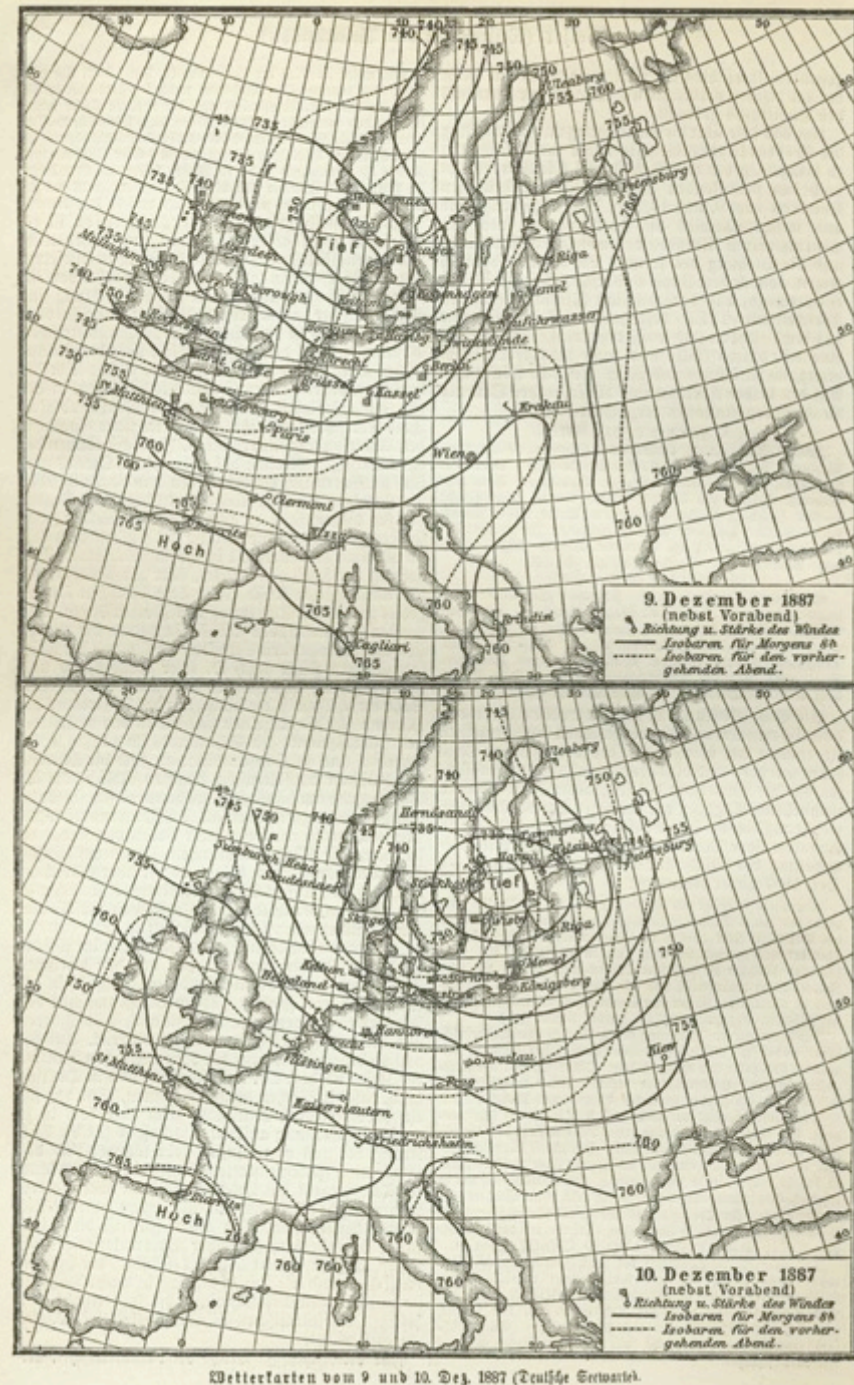
- 650 AC Babylonians made forecasts from cloud formations and position of the star
- 340 AC, Aristotle described a series of meteorological situations in a book called *Meteorológica*
- Since 300 AC Chinese made some sort of weather forecast

Lets explain the thunder (...). There are two kinds of exhalations: dry and humid. (...). The humid condenses and forms a cloud (...). The radiated heats disperses on the top of the cloud, cooling it. A dry exhalation, that gets trapped in the process, will be eject from the cloud with high speed. When it collides with the neighboring clouds it makes a noise. We call this noise: thunder.

– **Aristoteles Meteorologica**

# Modern History

- 1400's
  - Hygrometer - Cryfts (1450)
  - Anemometer - Alberti (1450)
- 1500's
  - Thermoscope - Galileo
- 1600's
  - Barometer - Torricelli (1643)
  - Les Meteores - Descarte (1637)
- 1700's
  - Trade winds - Hadley (1730)
- 1800's
  - Three-cell model - Ferrel (1855)
  - Weather maps of surface pressure
- 1900's
  - Weather prediction - Bjerknes (1903)
  - Polar front theory - Bjerknes (1921)



# Modern Technology

- 1900's
  - Numerical weather prediction
    - Richardson (1922)
  - Daily balloon observations (1940's)
  - First computer – ENIAC (1946)
  - First weather forecast
    - Von Neumann and Charney (1950)
  - Weather satellites (Tiros I, 1960)
  - First global model
    - Smagorinsky (1963)

